

Житомирська політехніка	МІНІСТЕРСТВО ОСВІТИ І НАУКИ УКРАЇНИ ДЕРЖАВНИЙ УНІВЕРСИТЕТ «ЖИТОМИРСЬКА ПОЛІТЕХНІКА» Система управління якістю відповідає ДСТУ ISO 9001:2015 <i>Екземпляр № 1</i>	Ф-22.06- 05.02/2/172.00.1/ М /ВК2.2-2021
------------------------------------	--	---

ЗАТВЕРДЖЕНО

Науково-методичною радою
Державного університету
«Житомирська політехніка»

протокол від 09.11.2020 р. №4

МЕТОДИЧНІ РЕКОМЕНДАЦІЇ

для проведення практичних (лабораторних) занять

з навчальної дисципліни

«Спутникові інформаційні системи»

для здобувачів вищої освіти освітнього ступеня «магістр»

спеціальності 172 «Телекомунікації та радіотехніка»

освітньо-професійна програма «Телекомунікації та радіотехніка»

факультет інформаційно-комп’ютерних технологій

кафедра біомедичної інженерії та телекомунікацій

Рекомендовано на засіданні
кафедри біомедичної інженерії та
телекомунікацій
26 серпня 2021 р., протокол №10

Розробник: к.т.н., доцент кафедри біомедичної інженерії та
телекомунікацій ЦИПОРЕНКО Віталій

Житомир
2021

Житомирська політехніка	МІНІСТЕРСТВО ОСВІТИ І НАУКИ УКРАЇНИ ДЕРЖАВНИЙ УНІВЕРСИТЕТ «ЖИТОМИРСЬКА ПОЛІТЕХНІКА» Система управління якістю відповідає ДСТУ ISO 9001:2015 <i>Екземпляр № 1</i>	Ф-22.06- 05.02/2/172.00.1/М /ВК2.2-2021
------------------------------------	--	--

Зміст

Лабораторна робота №1.	Дослідження інваріантної АР	3
Лабораторна робота №2.	Дослідження елементів мікросмужкового НВЧ тюнера.....	20
Лабораторна робота №3.	Дослідження алгоритмів оброблення сигналів в цифровій лінійній АР	36
Лабораторна робота №4.	Дослідження траекторій польоту та робочих зон штучних супутників Землі.....	49
Лабораторна робота №5.	Дослідження характеристик антен супутниковых систем.....	60
Література		68

Житомирська політехніка	МІНІСТЕРСТВО ОСВІТИ І НАУКИ УКРАЇНИ ДЕРЖАВНИЙ УНІВЕРСИТЕТ «ЖИТОМИРСЬКА ПОЛІТЕХНІКА» Система управління якістю відповідає ДСТУ ISO 9001:2015 <i>Екземпляр № 1</i>	Ф-22.06- 05.02/2/172.00.1/М /ВК2.2-2021
----------------------------	--	--

Лабораторна робота №1

Дослідження інваріантної АР

1. Навчальні питання

1. Дослідження впливу частоти сигналу на ДН інваріантної антенної решітки (ІАР) та положення заданих нулів .
2. Дослідження впливу номерів елементів підрешітки які беруть участь у формуванні ДН ІАР на ДН ІАР.
3. Дослідження впливу амплітудного розподілу в елементах підрешітки на ДН ІАР.
4. Дослідження впливу ширини ДН елемента підрешітки на результатуючу ДН ІАР.
5. Дослідження впливу положення заданих нулів на результатуючу ДН ІАР.

2. Навчальна мета

1. Дослідити ІАР побудовані на основі змішаного синтезу.
2. Дослідити ІАР побудованих на основі поелементного синтезу.

3. Теоретичні відомості

Дослідження принципів побудови, методів синтезу та ефективності ІАР із використанням програмованих частотно інваріантних нулів довільної кількості для умов складної ЕМО і великої апріорної невизначеності відносно частоти завад.

Нехай необхідно здійснювати прийом корисних радіовипромінювань одночасно від K джерел інформації при наявності N джерел завад, причому $K < N$. Напрямки на джерела інформації апріорі невідомі і задаються ззовні в межах ($0 - 360$) градусів. Напрямки на джерела завад відомі і не залежать від напрямків на джерела інформації. Корисні випромінювання та завади є широкосмуговими випромінюваннями із невідомою середньою частотою та шириною спектра з невідомими тривалостями та часом випромінювання.

Житомирська політехніка	МІНІСТЕРСТВО ОСВІТИ І НАУКИ УКРАЇНИ ДЕРЖАВНИЙ УНІВЕРСИТЕТ «ЖИТОМИРСЬКА ПОЛІТЕХНІКА» Система управління якістю відповідає ДСТУ ISO 9001:2015	Ф-22.06- 05.02/2/172.00.1/М /ВК2.2-2021
	<i>Екземпляр № 1</i>	<i>Арк 68 / 4</i>

Для цих умов IAP повинна мати K незалежних головних пелюсток, напрямки яких можуть оперативно задаватись. Для забезпечення завадозахищеності в складній ЕМО IAP повинна мати нулі в DC в напрямках на N джерел завад незалежно від напрямків головних пелюсток та в широкій смузі можливих частот завад. Головні промені доцільно реалізувати на основі антенних решіток, що задамо послідовністю $f_1(\theta, \omega), \dots, f_k(\theta, \omega), \dots, f_K(\theta, \omega)$. Для формування N нулів при мінімумі середнього рівня бічних пелюсток доцільно використовувати елементи AP з круговою DC, які задамо послідовністю $v_{K+1}(\theta, \omega), \dots, v_{K+n}(\theta, \omega), \dots, v_{K+N}(\theta, \omega)$. Для забезпечення частотної інваріантності після кожної AP та кожного елементу IAP доцільно включити певні частотні фільтри відповідно $Z_k(\tau_0, \omega)$ та $Z_{K+n}(\tau_0, \omega)$ які підключені до спільногого суматора. В результаті сумарна DC синтезованої IAP матиме вигляд суми:

$$F(\tau, \tau_0, \omega) = f_1(\tau, \omega) \cdot Z_1(\tau_0, \omega) + \dots + f_k(\tau, \omega) \cdot Z_k(\tau_0, \omega) + \\ + v_{K+1}(\tau, \omega) \cdot Z_{K+1}(\tau_0, \omega) + \dots + v_{K+n}(\tau, \omega) \cdot Z_{K+n}(\tau_0, \omega) + \dots + v_{K+N}(\tau, \omega) \cdot Z_{K+N}(\tau_0, \omega), \quad (1)$$

де: τ – поточне значення узагальнених кутових координат θ ;
 τ_0 – узагальнені кутові координати напрямку на завади;
 ω – колова частота;

Співвідношення (1) доцільно представити як розклад певного визначника за елементами першого рядка у відповідності до виразу (2):

$$F(\tau, \tau_0, \omega) := \begin{bmatrix} f_{11} & \dots & f_{1k} & v_{1(K+1)} & \dots & v_{1(K+N)} \\ \Phi_{21} & \dots & \Phi_{2k} & \Phi_{2(K+1)} & \dots & \Phi_{2(K+N)} \\ \dots & \dots & \dots & \dots & \dots & \dots \\ \Phi_{h1} & \dots & \Phi_{hk} & \Phi_{h(K+1)} & \dots & \Phi_{h(K+N)} \\ \dots & \dots & \dots & \dots & \dots & \dots \\ \Phi_{(K+N)1} & \dots & \Phi_{(K+N)k} & \Phi_{(K+N)(K+1)} & \dots & \Phi_{(K+N)(K+N)} \end{bmatrix}, \quad (2)$$

Житомирська політехніка	МІНІСТЕРСТВО ОСВІТИ І НАУКИ УКРАЇНИ ДЕРЖАВНИЙ УНІВЕРСИТЕТ «ЖИТОМИРСЬКА ПОЛІТЕХНІКА» Система управління якістю відповідає ДСТУ ISO 9001:2015	Ф-22.06- 05.02/2/172.00.1/М /ВК2.2-2021
	<i>Екземпляр № 1</i>	<i>Арк 68 / 5</i>

В цьому випадку елементи в (2) Φ_{hK} , $\Phi_{h(K+n)}$ є базовими фільтрами (БФ), з яких складаються фільтри $Z_k(\tau_0, \omega)$ та $Z_{k+n}(\tau_0, \omega)$; $k = 1, 2, \dots, (K+N)$ – номер стовбчика; $h = 1, 2, \dots, (K+N)$ – номер рядка; $Z_k(\tau_0, \omega)$ та $Z_{k+n}(\tau_0, \omega)$ – ад'юнкти при розкладі визначника (2) за першим рядком. Значення ад'юнктів в (1) дорівнюють:

$$Z_{1k}(\tau_0, \omega) = \begin{bmatrix} \Phi_{21} & \dots & \Phi_{2(K+1)} & \dots & \Phi_{2(K+N)} \\ \dots & \dots & \dots & \dots & \dots \\ \Phi_{h1} & \dots & \Phi_{h(K+1)} & \dots & \Phi_{h(K+N)} \\ \dots & \dots & \dots & \dots & \dots \\ \Phi_{(K+N)1} & \dots & \Phi_{(K+N)(K+1)} & \dots & \Phi_{(K+N)(K+N)} \end{bmatrix}, \quad (3)$$

Аналітично ДС антенних решіток $f_k(\theta, \omega)$, що формують головні промені, можна записати у вигляді наступної функції:

$$f_k(\tau, \tau_{mk}, \omega) = \sum_{p=0}^P A_{pk} \cdot \exp(jp\omega(\tau - \tau_{mk})), \quad (4)$$

де A_{pk} – розподіл амплітуд по р-их елементах k-тої АР;

K – кількість ДС АР які входять до складу IAP;

P – кількість елементів в АР;

$\tau = \frac{d}{c} \sin(\theta)$ – час затримки випромінювання між сусідніми

елементами АР, яке залежить від відстані d між сусідніми елементами АР і кута падіння θ плоскої хвилі на АР;

c – швидкість світла;

$\tau_{mk} = \frac{d}{c} \sin(\theta_{mk})$ – запізнення сигналу між сусідніми елементами АР при приходу хвилі з напрямку головного максимуму θ_{mk} ДН k-тої АР.

Житомирська політехніка	МІНІСТЕРСТВО ОСВІТИ І НАУКИ УКРАЇНИ ДЕРЖАВНИЙ УНІВЕРСИТЕТ «ЖИТОМИРСЬКА ПОЛІТЕХНІКА» Система управління якістю відповідає ДСТУ ISO 9001:2015	Ф-22.06- 05.02/2/172.00.1/М /ВК2.2-2021
	<i>Екземпляр № 1</i>	<i>Арк 68 / 6</i>

Для випадку рівномірного розподілу амплітуд по р-их елементах k-тої AP, коли $A_{pk} = 1$ ДС антенних решіток $f_k(\theta, \omega)$, що формують головні промені, можна записати у вигляді наступної функції:

$$\begin{aligned}
f_k(\tau, \tau_{mk}, \omega) &= \sum_{p=0}^P 1 \cdot \exp(jp\omega(\tau - \tau_{mk})) = \frac{\exp(jN\omega(\tau - \tau_{mk})) - 1}{\exp(j\omega(\tau - \tau_{mk})) - 1} = \\
&= \frac{\exp(jN\omega(\tau - \tau_{mk})/2)}{\exp(j\omega(\tau - \tau_{mk})/2)} \cdot \left(\frac{\exp(jN\omega(\tau - \tau_{mk})/2) - \exp(-jN\omega(\tau - \tau_{mk})/2)}{\exp(j\omega(\tau - \tau_{mk})/2) - \exp(-j\omega(\tau - \tau_{mk})/2)} \right) = , \quad (5) \\
&= \exp(j(N-1)\omega(\tau - \tau_{mk})/2) \cdot \left(\frac{\sin(N(\omega(\tau - \tau_{mk}))/2)}{\sin((\omega(\tau - \tau_{mk}))/2)} \right)
\end{aligned}$$

Аналітично ДС елементів IAP $v_{K+n}(\theta, \omega)$ можна записати у вигляді наступної функції:

$$v_{(K+n)}(\tau, \tau_{mn}, \omega) = A_{(K+n)} \cdot \exp(jp_{(K+n)}\omega(\tau - \tau_{m(K+n)})) , \quad (6)$$

де $A_{(K+n)}$ – ваговий коефіцієнт перед n-тим елементом в IAP;

$p_{(K+n)} \in [1, P]$ – число рівне певному номеру елемента AP;

$\tau_{m(K+n)} = \frac{d}{c} \sin(\theta_{m(K+n)})$ – запізнення сигналу між сусідніми

елементами AP при приходу хвилі з напрямку головного максимуму θ_{mn} ДС n-того одиночного елементу IAP.

Для мінімізації апаратурних витрат елементи IAP доцільно реалізувати шляхом використання елементів AP, що формують головні промені.

Зафіксуємо змінну τ в формулах (5) та (6):

$$\tau = \tau_{0h} = \frac{d}{c} \sin(\theta_{0h}) , \quad (7)$$

де τ_{0h} – час затримки випромінювання між сусідніми елементами AP, який залежить від напрямку θ_{0h} на h-тий нуль в ДС IAP.

Житомирська політехніка	МІНІСТЕРСТВО ОСВІТИ І НАУКИ УКРАЇНИ ДЕРЖАВНИЙ УНІВЕРСИТЕТ «ЖИТОМИРСЬКА ПОЛІТЕХНІКА» Система управління якістю відповідає ДСТУ ISO 9001:2015	Ф-22.06- 05.02/2/172.00.1/М /ВК2.2-2021
	<i>Екземпляр № 1</i>	<i>Арк 68 / 7</i>

Тоді ці функції будуть залежати тільки від частоти ω і набудуть змісту частотної характеристики фільтра.

Тоді БФ Φ_{hk} , які входять до складу визначника (2) мають наступний вигляд:

$$\Phi_{hk}(\tau_{0h}, \tau_{mk}, \omega) = \sum_{p=0}^P A_{pk} \cdot \exp(j p_k \omega (\tau_{0h} - \tau_{mk})). \quad (8)$$

Для випадку рівномірного розподілу амплітуд, коли $A_{pk} = 1$ БФ Φ_{hk} , які входять до складу визначника (2) матимуть наступний вигляд:

$$\Phi_{hk}(\tau_{0h}, \tau_{mk}, \omega) = \exp(j(N-1)\omega(\tau_{0h} - \tau_{mk})/2) \cdot \left(\frac{\sin(N(\omega(\tau_{0h} - \tau_{mk}))/2)}{\sin((\omega(\tau_{0h} - \tau_{mk}))/2)} \right), \quad (9)$$

Аналітично комплексні частотні характеристики БФ $\Phi_{h(K+n)}$, які входять до складу визначника (2) мають наступний вигляд:

$$\Phi_{h(K+n)}(\tau_{0h}, \tau_{m(K+n)}, \omega) = A_{(K+n)} \cdot \exp(j p_{(K+n)} \omega (\tau_{0h} - \tau_{m(K+n)})). \quad (10)$$

Аналіз визначника (2) показує, що при $\tau = \tau_{0h}$ визначник перетворюється в нуль в цій точці тому, що перший рядок буде дорівнювати h -тому при довільному значенні колової частоти ω . З (2) видно, що кількість нулів в ДС ІАР дорівнює на одиницю менше кількості рядків ($K+N$) у визначнику. Якщо $v_{K+n}(\tau, \omega)$ – елементарні випромінювачі з коловою ДС, то кількість головних променів в ІАР буде дорівнювати кількості K antennних решіток, що входять до складу ІАР. В крайньому випадку синтезована ІАР може мати один промінь $K=1$, та довільну кількість нулів в ДН. З формул (8) та (10) визначимо структурні схеми БФ Φ_{hk} та $\Phi_{h(K+n)}$. У відповідності до цих виразів доцільно реалізувати схеми паралельного та послідовного типу. Для прикладу на рис. 3.1,а та рис. 3.1,б показано схеми послідовного типу.

Житомирська політехніка	МІНІСТЕРСТВО ОСВІТИ І НАУКИ УКРАЇНИ ДЕРЖАВНИЙ УНІВЕРСИТЕТ «ЖИТОМИРСЬКА ПОЛІТЕХНІКА» Система управління якістю відповідає ДСТУ ISO 9001:2015 <i>Екземпляр № 1</i>	Ф-22.06- 05.02/2/172.00.1/М /ВК2.2-2021
		<i>Арк 68 / 8</i>

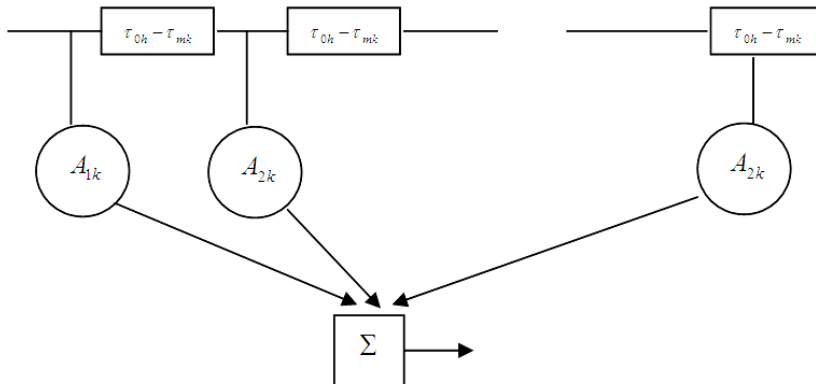


Рис. 3.1, а

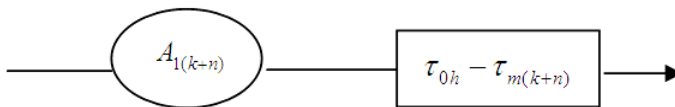


Рис. 3.1, б

Визначимо вимоги до елементів АР.

Для забезпечення якісного прийому корисних випромінювань головні промені повинні мати великий коефіцієнт підсилення. Для цього ад'юнкти $Z_k(\tau_0, \omega)$ та $Z_{K+n}(\tau_0, \omega)$ при розкладі визначника (2) за першим рядком не повинні дорівнювати нулю. При $Z_k(\tau_0, \omega) = 0$ один або усі промені IAP стають рівні нулю. Вказана вимога забезпечується при реалізації елементів IAP різними елементами АР, що є обмежуючим фактором кількості нулів.

Розглянемо для прикладу варіант побудови IAP, яка реалізує два широкосмугові нулі та має один основний промінь. Така схема повинна реалізовувати визначник 3-го порядку з двома нулями в довільних заданих напрямках τ_{02} та τ_{03} :

Житомирська політехніка	МІНІСТЕРСТВО ОСВІТИ І НАУКИ УКРАЇНИ ДЕРЖАВНИЙ УНІВЕРСИТЕТ «ЖИТОМИРСЬКА ПОЛІТЕХНІКА» Система управління якістю відповідає ДСТУ ISO 9001:2015	Ф-22.06- 05.02/2/172.00.1/М /ВК2.2-2021
	Екземпляр № 1	Арк 68 / 9

$$F(\tau, \tau_{02}, \tau_{03}, \tau_{m1}, \tau_{m2}, \tau_{m3}, \omega) := \begin{bmatrix} f_{11}(\tau - \tau_{m1}) & d_{12}(\tau - \tau_{m2}) & d_{13}(\tau - \tau_{m3}) \\ \Phi_{21}(\tau_{02} - \tau_{m1}) & \Phi_{22}(\tau_{02} - \tau_{m2}) & \Phi_{23}(\tau_{02} - \tau_{m3}) \\ \Phi_{31}(\tau_{03} - \tau_{m1}) & \Phi_{32}(\tau_{03} - \tau_{m2}) & \Phi_{33}(\tau_{03} - \tau_{m3}) \end{bmatrix} \quad (11)$$

При розкладі визначника (2) за елементами першого рядка визначник $Z_1(\tau_0, \omega)$ буде дорівнювати:

$$\begin{aligned} Z_1 &= \begin{bmatrix} \Phi_{22} & \Phi_{23} \\ \Phi_{32} & \Phi_{33} \end{bmatrix} = \Phi_{22} \cdot \Phi_{33} - \Phi_{32} \cdot \Phi_{23} = \\ &= [A_2 \cdot \exp(jp_2 \omega (\tau_{02} - \tau_{m2})) \cdot A_3 \cdot \exp(jp_3 \omega (\tau_{03} - \tau_{m3})) - \\ &\quad - A_2 \cdot \exp(jp_2 \omega (\tau_{03} - \tau_{m2})) \cdot A_3 \cdot \exp(jp_3 \omega (\tau_{02} - \tau_{m3}))] \end{aligned} \quad (12)$$

Покладемо $A_2 = A_3 = 1$, $p_2 = p_3$. Тоді вираз (10) матиме вигляд:

$$Z_1 = [\exp(jp\omega[(\tau_{02} + \tau_{03}) - (\tau_{m2} + \tau_{m3})]) - \exp(jp\omega[(\tau_{03} + \tau_{02}) - (\tau_{m2} + \tau_{m3})])] = 0 \quad (13)$$

Аналіз рівняння (13) показує, що при рівності номерів елементів $v_{(K+n)}$ тобто при $p_2 = p_3$ ад'юнкт $Z_1(\tau_0, \omega)$ стає рівним нулю, що веде до втрати променя IAP. Звідси випливає наступна умова роботи IAP: всі елементи $v_{(K+n)}$ IAP повинні стояти на різних позиціях.

4. Опис лабораторної моделі

Програмна модель буде в подальшому використовуватись для проведення лабораторних робіт по дослідженю IAP при змішаному синтезі, тому вона повинна мати зручний інтерфейс користувача, простоту введення та виведення результатів які повинні відображатися в графічній формі. Так як ДН IAP представляється у вигляді визначника виду (2.7) то робота програми буде зводитись до обчислення цього визначника. Також для порівняльного аналізу із іншими типами синтезів програма повинна обчислювати ДН IAP

Житомирська політехніка	МІНІСТЕРСТВО ОСВІТИ І НАУКИ УКРАЇНИ ДЕРЖАВНИЙ УНІВЕРСИТЕТ «ЖИТОМИРСЬКА ПОЛІТЕХНІКА» Система управління якістю відповідає ДСТУ ISO 9001:2015	Ф-22.06- 05.02/2/172.00.1/М /ВК2.2-2021
	<i>Екземпляр № 1</i>	<i>Арк 68 / 10</i>

також при поелементному та променевому синтезі. Результати обчислень будуть представлені в прямокутній Декартовій системі координат в лінійному та логарифмічному масштабі. Прямокутна система координат у порівнянні із полярною при інженерних розрахунках є більш зручною, особливо при високих напрямлених властивостях антени так як масштаб кутів по осі абсцис може бути заданий в широких межах. ДН антен із високими захисними властивостями, а саме такою є IAP, через малий рівень бічних і задніх пелюсток тяжко зобразити в лінійному масштабі, тому ДН тому ДН також буде представлена і в логарифмічному масштабі. Також в такому масштабі буде добре видно глибину “нуля”. Загальний алгоритм роботи програмної моделі представлений на рис. 4.1.

Обчислення ДН IAP буде проводитись при формуванні одного та двох нулів. В першому випадку буде обчислюватися визначник другого порядку, а у другому випадку – визначник третього порядку.

Для моделювання обраний інтегрований багатофункціональний програмний пакет MathCAD, абревіатура розшифровується як **Mathematical Computer Aided Design**, що переводиться як математичне автоматизоване проектування, що і говорить про призначення пакету. Алгоритм задач в пакеті MathCAD описується в загальноприйнятих математичних термінах і позначеннях. Поряд із цим пакет має розвинуті засоби роботи із текстовою, графічною та ілюстративною інформацією являючи в сукупності розвинений інтегрований засіб із елементами штучного інтелекту для автоматизації вирішення задач обчислювального характеру.

Житомирська політехніка	МІНІСТЕРСТВО ОСВІТИ І НАУКИ УКРАЇНИ ДЕРЖАВНИЙ УНІВЕРСИТЕТ «ЖИТОМИРСЬКА ПОЛІТЕХНІКА» Система управління якістю відповідає ДСТУ ISO 9001:2015	Ф-22.06- 05.02/2/172.00.1/М /ВК2.2-2021
	Екземпляр № 1	Арк 68 / 11



Рис. 4.1 Загальний алгоритм роботи програмної моделі

На рис. 4.2 приведений фрагмент програмної моделі IAP при змішаному синтезі. Як видно із рисунка всі вирази записані у вигляді стандартних математичних конструкцій послідовність розміщення яких відповідає послідовності обчислень.

Спочатку в моделі вводяться початкові дані: відстань між елементами решітки – d ; кількість елементів – N ; довжина хвилі – λ ; напрям головного максимуму підрешітки – θ_1 ; напрямки формування нулів – θ_{01} і θ_{02} ; номера елементів підрешітки що беруть участь у формуванні ДН IAP – j та k . Кутові напрямки формування головного променя та нулів поділені на $57,3$, це зроблено для того щоб значення величин вводилися в градусах, що більш зручніше ніж в радіанах, аналогічне зроблено і в подальших обчислювальних функціях. Коефіцієнти амплітудного розподілу задаються у відповідності із

Житомирська політехніка	МІНІСТЕРСТВО ОСВІТИ І НАУКИ УКРАЇНИ ДЕРЖАВНИЙ УНІВЕРСИТЕТ «ЖИТОМИРСЬКА ПОЛІТЕХНІКА» Система управління якістю відповідає ДСТУ ISO 9001:2015 <i>Екземпляр № 1</i>	Ф-22.06- 05.02/2/172.00.1/М /ВК2.2-2021
------------------------------------	--	--

формулою (1.13), що дозволяє проводити дослідження при рівномірному, косинусоїdalному амплітудному розподілах та розподілі косинус на п'єдесталі. В моделі також передбачено, що підрешітка може складатися як із не напрямлених елементів так із напрямлених. В якості напрямлених елементів використовуються симетричні вібратори або рупори в площині Е.

ДН симетричного вібратора зображається виразом

$$Fe(\theta) := \frac{\cos(k \cdot l \cdot \sin(\theta)) - \cos(k \cdot l)}{\cos(\theta)},$$

де l – довжина плеча вібратора; $k = 2\pi/\lambda$ – хвильове число.

ДН рупора в площині Е визначається виразом

$$Fe(\theta) := \frac{\sin(0.5 \cdot k \cdot l \cdot \sin(\theta))}{0.5 \cdot k \cdot l \cdot \sin(\theta)} \cdot \frac{1 + \cos(\theta)}{2},$$

де l – розмір розкриву рупора в площині Е.

Зміна типу елемента решітки відбувається шляхом включення та виключення відповідної конструкції відповідного виразу із обчислень (на рис 4.2 виключений вираз помічений зверху чорним квадратом. Визначники в програмній моделі обчислюються за відомими математичними правилами.

Житомирська політехніка	МІНІСТЕРСТВО ОСВІТИ І НАУКИ УКРАЇНИ ДЕРЖАВНИЙ УНІВЕРСИТЕТ «ЖИТОМИРСЬКА ПОЛІТЕХНІКА» Система управління якістю відповідає ДСТУ ISO 9001:2015	Ф-22.06- 05.02/2/172.00.1/M /BK2.2-2021
	<i>Екземпляр № 1</i>	<i>Арк 68 / 13</i>

```

d := 0.05
λ := 0.1
N := 10
D := 1
p := 1
l := 0.4
K := 2 * π / λ

θ1 := 0 / 57.3
θ01 := 45 / 57.3
θ02 := 65 / 57.3
j := 1
k := 3

Fe(θ) := cos(K.l.sin(θ / 57.3)) - cos(K.l)
Fe'(θ) := sin(0.5.K.l.sin(θ / 57.3)) / 0.5.K.l.sin(θ / 57.3) + 1 + cos(θ / 57.3) / 2

Ak(n) := D + (1 - D).sin((n - 1) * π / N - 1)^p
Aj := D + (1 - D).sin(j * π / N - 1)^p
Ak := D + (1 - D).sin(k * π / N - 1)^p

```

Рис. 4.2. Фрагмент програмної моделі для дослідження IAP при змішаному синтезі

Для IAP із формуванням одного нуля обчислюється визначник другого порядку, а для IAP із формуванням двох нулів обчислюється визначник третього порядку. Визначник другого порядку обчислюється за відомим правилом, як різниця добутків елементів головної та побічної діагоналей. Визначник третього порядку обчислюється за правилом трикутників, при цьому перші три доданки є добутками елементів, що стоять на головній діагоналі і у вершинах двох трикутників у яких одна сторона паралельна головній діагоналі визначника. Analogічно утворюються доданки із знаком мінус де за основу береться побічна діагональ.

На рис. 4.3 зображені фрагменти тоді ж моделі де виводяться результати обчислень. Як видно із рис. 4.3 програма будує ДН IAP із формуванням одного та двох нулів в прямокутній системі координат в лінійному та логарифмічному

Житомирська політехніка	МІНІСТЕРСТВО ОСВІТИ І НАУКИ УКРАЇНИ ДЕРЖАВНИЙ УНІВЕРСИТЕТ «ЖИТОМИРСЬКА ПОЛІТЕХНІКА» Система управління якістю відповідає ДСТУ ISO 9001:2015	Ф-22.06- 05.02/2/172.00.1/М /ВК2.2-2021
	<i>Екземпляр № 1</i>	<i>Арк 68 / 14</i>

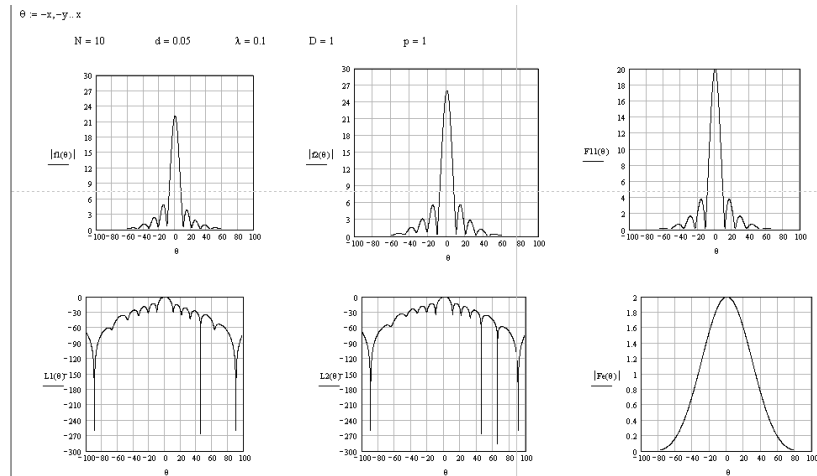


Рис. 4.3. Фрагмент програмної моделі для дослідження IAP при змішаному синтезі (область побудови графіків) масштабах. Також будуються ДН підрешітки та елемента решітки, що є дуже зручним при дослідженні IAP .

Аналогічно побудовані програмні моделі для дослідження IAP при променевому та при по елементному синтезах у відповідності із методикою синтезу, що описана в другому розділі.

5. Порядок виконання лабораторної роботи

5.1. Запустити програму для моделювання змішаного синтезу (*iarsmes.mcd*) та дослідити властивості IAP при змішаному синтезі (при запуску програми в ній вже будуть встановлені початкові дані – довжина хвилі, кількість елементів решітки, відстань між ними та напрямок формування головного променя, напрямки формування нулів в IAP, амплітудний розподіл між елементами решітки буде встановлений рівномірний, тип елемента решітки – ненапрямлений).

5.1.1. Натиснувши клавішу <F9> отримати графики ДН, при заданих початкових даних, IAP при формуванні одного та двох нулів, ДН підрешітки та ДН елемента в лінійному та логарифмічному масштабах. В ДН IAP, особливо в логарифмічному масштабі, повинні

Житомирська політехніка	МІНІСТЕРСТВО ОСВІТИ І НАУКИ УКРАЇНИ ДЕРЖАВНИЙ УНІВЕРСИТЕТ «ЖИТОМИРСЬКА ПОЛІТЕХНІКА» Система управління якістю відповідає ДСТУ ISO 9001:2015 <i>Екземпляр № 1</i>	Ф-22.06- 05.02/2/172.00.1/М /ВК2.2-2021
----------------------------	--	--

спостерігатися чіткі нулі глибиною порядку 200 дБ, положення яких повинно відповідати заданим напрямкам формування нулів (змінні 001 і 002 в програмі). Програма в режимі ручного обчислення, тому при кожній зміні початкових величин необхідно натискати <F9>. Також необхідно пам'ятати, що обчислення графіків закінчується на останньому, що знаходиться в даний момент на екрані, а для обчислення інших необхідно зробити прокрутку вниз і натиснути <F9>.

5.1.2 Дослідити вплив частоти сигналу на ДН IAP та положення заданих нулів. Для цього необхідно отримати ДН IAP при довжині хвилі (змінна λ) збільшеної та зменшеної в три рази відносно встановленої величини.

5.1.3 Дослідити як впливає кількість елементів підрешітки на результатуючу ДН IAP. Для цього необхідно змінювати значення змінної N в програмі на 5 елементів менше та на 10 більше відносно встановленого значення та отримати ДН IAP при цих значеннях.

5.1.4 Дослідити вплив напрямку головного максимуму підрешітки на результатуючу ДН IAP. Для цього отримайте ДН IAP при значеннях змінної θ_1 відповідно – 30 та 15 градусів.

5.1.5 Дослідити вплив номерів елементів підрешітки які беруть участь у формуванні ДН IAP на ДН IAP. Для цього встановіть кількість елементів підрешітки N=10 та при $j=1$, $k=3$ та $j=3$, $k=7$ отримайте ДН IAP.

5.1.6 Дослідити вплив амплітудного розподілу в елементах підрешітки на ДН IAP. Для цього отримайте ДН IAP при значеннях змінних $D=0$, $p=3$ (косинусоїдальний амплітудний розподіл) та при $D=0,5$, $p=3$ (розподіл косинус на п'єдесталі). При цьому встановити $N=10$, $j=1$, $k=3$.

5.1.7 Дослідити вплив ширини ДН елемента підрешітки на результатуючу ДН IAP. Для цього встановіть $N=4$, $j=1$, $k=3$, $\lambda=0,1$, $D=1$, $p=1$, (рівномірний амплітудний розподіл), $l=0,05$ ($d > l$) та виключіть вираз $Fe=1$ із обчислення (клацніть лівою кнопкою мишкою по цій

Житомирська політехніка	МІНІСТЕРСТВО ОСВІТИ І НАУКИ УКРАЇНИ ДЕРЖАВНИЙ УНІВЕРСИТЕТ «ЖИТОМИРСЬКА ПОЛІТЕХНІКА» Система управління якістю відповідає ДСТУ ISO 9001:2015 <i>Екземпляр № 1</i>	Ф-22.06- 05.02/2/172.00.1/М /ВК2.2-2021
----------------------------	--	--

області та в отриманому меню виберіть пункт “Disable Equation”) та аналогічно включіть в обчислення наступний за ним вираз вибраний пункт в меню “Enable Equation”. Цей вираз є ДН симетричного вібратора. Та отримайте ДН IAP. Далі аналогічно включіть цей вираз із обчислення та включіть наступний, який є ДН рупора в площині Е, встановіть $l=0.3$. Отримайте ДН IAP.

5.1.8 Дослідити вплив положення заданих нулів на результатуючу ДН IAP. Для цього включіть в обчислення вираз $Fe=1$, а інші виключіть, встановіть $N=10$. Отримайте ДН IAP при значеннях величин $\theta01=15^\circ$, $\theta02=40^\circ$ та величин $\theta01=\theta1$, $\theta02=\theta2$.

5.1.9 По результатам отриманих досліджень зробити висновки, як впливає та чи інша величина на результатуючу ДН IAP, і чим відрізняються ДН IAP при формуванні одного та двох нулів.

5.2. Запустити програму для моделювання поелементного синтезу (iargpoel.mcd) та дослідити властивості IAP при поелементному синтезі.

5.2.1 При заданих параметрах отримати ДН IAP при формуванні одного нуля (в цьому випадку решітка містить два елементи) та при формуванні двох нулів (решітка містить три елементи) та ДН елемента в лінійному та логарифмічному масштабах.

5.2.2. Дослідити вплив частоти сигналу на ДН IAP та положення заданих нулів у відповідності із методикою в п. 1.2.

5.2.3. Дослідити вплив амплітудного розподілу в елементах решітки на ДН IAP у відповідності із методикою п. 1.6.

5.2.4. Дослідити вплив ширини ДН елемента підрешітки на результатуючу ДН IAP у відповідності із методикою п .1.7.

5.2.5 Дослідити вплив положення заданих нулів на результатуючу ДН IAP. Напрямки положення нулів задаються такі ж як і в п.1.8.

5.2.6 По результатам отриманих досліджень зробити висновки, як впливає та чи інша величина на результатуючу ДН IAP при поелементному синтезі, і чим відрізняються ДН IAP при формуванні одного та двох нулів.

Житомирська політехніка	МІНІСТЕРСТВО ОСВІТИ І НАУКИ УКРАЇНИ ДЕРЖАВНИЙ УНІВЕРСИТЕТ «ЖИТОМИРСЬКА ПОЛІТЕХНІКА» Система управління якістю відповідає ДСТУ ISO 9001:2015	Ф-22.06- 05.02/2/172.00.1/М /ВК2.2-2021
	<i>Екземпляр № 1</i>	<i>Арк 68 / 17</i>

5.3. Запустити програму для моделювання променевого синтезу (iarluch.mcd) та дослідити властивості IAP при променевому синтезі при формуванні одного (IAP містить дві підрешітки) та двох (IAP містить три підрешітки) нулів в ДН.

5.3.1 Отримати графіки ДН, при заданих початкових даних, IAP при формуванні одного та двох нулів, ДН підрешітки в лінійному та логарифмічному масштабах.

5.3.2. Дослідити вплив частоти сигналу на ДН IAP та положення заданих нулів у відповідності із методикою в п. 1.2.

5.3.3 Дослідити як впливає кількість елементів підрешітки на результуючу ДН IAP. Дослідження проводити дляожної підрешітки змінюючи одночасно значення змінних N1, N2, N3 в програмі на 5 елементів менше та на 10 більше відносно встановленого значення та отримати ДН IAP при цих значеннях. Також отримати ДН IAP при різних значеннях N1, N2 і N3.

5.3.4 Дослідити вплив напрямку головного максимумуожної підрешітки на результуючу ДН IAP. Для цього отримайте ДН IAP при різних значеннях $\theta_1, \theta_2, \theta_3$.

5.3.5. Дослідити вплив амплітудного розподілу в елементах підрешітки на ДН IAP. Для цього отримайте ДН IAP при значеннях змінних D=0, p=3 (косинусоїдальний амплітудний розподіл) та при D=0,5, p=3 (розподіл косинус на п'єдесталі). При цьому встановити N1= N2= N3=10.

5.3.6 Дослідити вплив положення заданих нулів на результуючу ДН IAP. Для цього встановіть рівномірний амплітудний розподіл (D=1, p=1) і отримайте ДН IAP при різних значеннях $\theta_01, \theta_02, \theta_03$ та при суміщенні одного із максимумів підрешітки із нулем (коли $\theta_01=\theta_1$ або $\theta_02=\theta_2$ або $\theta_03=\theta_3$).

6. Обробка результатів

По результатам отриманих досліджень зробити висновки, як впливає та чи інша величина на результуючу ДН IAP при

Житомирська політехніка	МІНІСТЕРСТВО ОСВІТИ І НАУКИ УКРАЇНИ ДЕРЖАВНИЙ УНІВЕРСИТЕТ «ЖИТОМИРСЬКА ПОЛІТЕХНІКА» Система управління якістю відповідає ДСТУ ISO 9001:2015 <i>Екземпляр № 1</i>	Ф-22.06- 05.02/2/172.00.1/М /ВК2.2-2021
------------------------------------	--	--

променевому синтезі, і чим відрізняються ДН IAP при формуванні одного та двох нулів.

4. Порівняти отримані результати при різних типах синтезів та зробити відповідні висновки, як впливає та чи інша величина на результиручу ДН IAP , і чим відрізняються ДН IAP при формуванні одного та двох нулів. Визначити переваги та недоліки кожного типу синтезу.

Вказані досліди провести для IAP побудованих на основі змішаного та поелементного синтезу.

Студентом можуть бути виконані всі пункти, якщо дозволяє час відведеній на проведення лабораторної роботи, або вибірково за вибором викладача.

7. Зміст звіту. Звіт повинен містити:

1. Структурні схеми фільтрів, що досліджувалися у лабораторній роботі.
2. Осцилограми відповідно до п. 2, 4-9.
3. Розраховані значення відношення сигнал/шум відповідно до п. 3-5, 7-8.
4. Висновки.

8. Контрольні тестові питання

1. Пояснити принципи побудови IAP на основі променевого поелементного та змішаного синтезу.
2. Як впливає положення максимуму ДН у просторі на ширину променя.
3. В чому полягає інваріантність досліджуваних антенних решіток?
4. Як впливає амплітудний розподіл в елементах підрешітки на ДН IAP?
5. Як впливає кількість елементів підрешітки на результиручу ДН IAP?
6. Чим визначається та обмежується кількість нулів та максимумів ДН IAP?

Житомирська політехніка	МІНІСТЕРСТВО ОСВІТИ І НАУКИ УКРАЇНИ ДЕРЖАВНИЙ УНІВЕРСИТЕТ «ЖИТОМИРСЬКА ПОЛІТЕХНІКА» Система управління якістю відповідає ДСТУ ISO 9001:2015	Ф-22.06- 05.02/2/172.00.1/М /ВК2.2-2021
	<i>Екземпляр № 1</i>	<i>Арк 68 / 19</i>

7. Як впливає частота сигналу на ДН та положення нулів?
8. Чим визначається глибина нулів в ДН IAP?

Література

1. Коваленко М. В. Синтез інваріантних антенних решіток // Вісник ЖІТІ, 1999 – №9 / Технічні науки. – с. 178 – 184.
2. Воротніков В. В., Зелінський О.В., Коваленко М. В., Коваленко О. М., Колос Ю. О., Чухов В. В. Поелементний і змішаний синтез інваріантних антенних решіток. // Вісник ЖІТІ, 1999 – №11 / Технічні науки. – с. 133 – 138.

Житомирська політехніка	МІНІСТЕРСТВО ОСВІТИ І НАУКИ УКРАЇНИ ДЕРЖАВНИЙ УНІВЕРСИТЕТ «ЖИТОМИРСЬКА ПОЛІТЕХНІКА» Система управління якістю відповідає ДСТУ ISO 9001:2015	Ф-22.06- 05.02/2/172.00.1/М /ВК2.2-2021
	<i>Екземпляр № 1</i>	Арк 68 / 20

Лабораторна робота №2

Дослідження елементів мікросмужкового НВЧ тюнера

1. Навчальні питання

1. Дослідити амплітудно-частотні характеристики мікросмужкових НВЧ перетворювачів частоти та фільтрів.
2. Дослідити часові характеристики мікросмужкових перетворювачів частоти та фільтрів.

2. Навчальна мета

1. Експериментальне дослідження частотних мікросмужкових характеристик НВЧ перетворювачів частоти та фільтрів.

3. Теоретичні відомості

Смужковою лінією передачі називають таку лінію, в якій провідник стрічкового, круглого або квадратного перетинів розташований на деякій відстані від металевої площини (основи) або поміщений між двома металевими основами. Простір між провідником і основами може бути заповнений повітрям або діелектриком. Лінії з діелектричним заповненням, що виконуються друкарським способом, називаються друкарськими смужковими лініями. Розрізняють два основні типи смужкових ліній: (рис. 3.1) і симетричні (рис. 3.2)

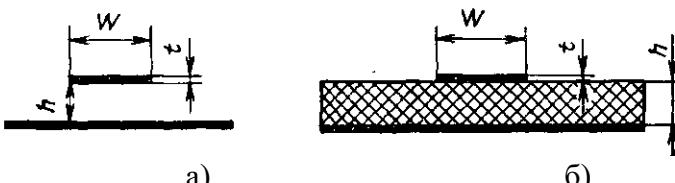


Рис. 3.1. Несиметричні смужкові лінії:
а – з повітряним заповненням; б – з діелектричним
заповненням

Несиметрична друкована смужкова лінія є пластиною діелектрика, на одній стороні якої нанесені провідники (проводні смужки) схеми, а на іншій – металізоване покриття, що створює

Житомирська політехніка	МІНІСТЕРСТВО ОСВІТИ І НАУКИ УКРАЇНИ ДЕРЖАВНИЙ УНІВЕРСИТЕТ «ЖИТОМИРСЬКА ПОЛІТЕХНІКА» Система управління якістю відповідає ДСТУ ISO 9001:2015	Ф-22.06- 05.02/2/172.00.1/М /ВК2.2-2021
	<i>Екземпляр № 1</i>	<i>Арк 68 / 21</i>

площину, що проводить (заземлену). Така лінія являється простою в налаштуванні, виготовленні і експлуатації.

Недоліками несиметричної смужкової лінії є відсутність екранування і підвищені втрати (у порівнянні з симетричною лінією). Проте якщо діелектрична проникність підкладки лінії висока, то електричне поле концентрується в області між провідником і заземленою пластиною, а тому втрати на випромінювання невеликі.

Ця обставина дозволяє успішно використовувати несиметричні лінії в інтегральних НВЧ схемах (їх називають мікросмужковими лініями передачі). Скорочення габаритів в мікросмужкових інтегральних НВЧ схемах забезпечується за рахунок вибору діелектрика з високою відносною діелектричною проникністю (\mathcal{E} – порядку 10).

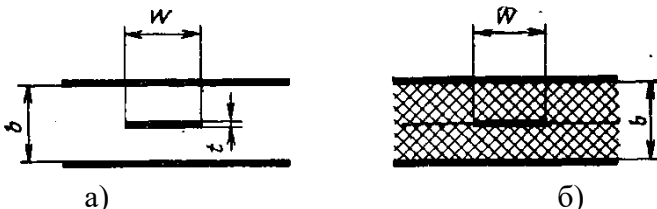


Рис. 3.2. Симетричні смужкові лінії: а – з повітряним заповненням, б – з діелектричним заповненням

У симетричній друкарській смужковій лінії (рис. 3.2,б) центральний провідник поміщений між двома діелектричними пластинами з металізованими зовнішніми поверхнями. Такі лінії володіють хорошим екрануванням, проте вони складні у виготовленні і налаштуванні, вимагають дотримання механічної симетрії для забезпечення малих втрат на випромінювання. Центральний провідник симетричної смужкової лінії в зібраному вигляді абсолютно недоступний для регулювання, що створює певні незручності при налаштуванні схем.

Високодобротні смужкові лінії (таблиця. 3.1) застосовуються у тому випадку, коли необхідно, щоб добротність ненавантаженої

Житомирська політехніка	МІНІСТЕРСТВО ОСВІТИ І НАУКИ УКРАЇНИ ДЕРЖАВНИЙ УНІВЕРСИТЕТ «ЖИТОМИРСЬКА ПОЛІТЕХНІКА» Система управління якістю відповідає ДСТУ ISO 9001:2015	Ф-22.06- 05.02/2/172.00.1/М /ВК2.2-2021
	<i>Екземпляр № 1</i>	Арк 68 / 22

передавальної лінії була досить високою (порядку 2000). Високодобротна лінія передачі має об'єм, більший, ніж симетрична друкарська смужкова лінія, але менший, ніж коаксіальна лінія або хвилевід. Така лінія забезпечує хороше екранування і менш чутлива до технологічних змін діелектричної сталої і товщини підкладки. Вибір типу смужкової лінії повинен проводитися з врахуванням виконання ряду вимог: малі втрати, можливість серійного виробництва, простоти налаштування, малий об'єм і вага, стабільність параметрів, низька вартість.

У таблиці. 3.1 приводяться характеристики основних типів смужкових ліній, наголошуються їх основні переваги і недоліки.

Таблиця 3.1

Тип смужкової лінії	Переріз лінії	Переваги	Недоліки
Несиметрична смужкова лінія з повітряним заповненням		Невелика вага	Відсутність екранування, великі втрати, потрібне кріплення
Несиметрична друкарська смужкова лінія (з малим $\varepsilon \approx 2 \div 3$ підкладки)		Малі габарити, мала вага, низька вартість, не потрібне кріплення	Великі втрати в несиметричній лінії, відсутність екранування
Мікросмужкова лінія (з високим $\varepsilon \approx 10$)			
Симетрична смужкова лінія з повітряним заповненням		Малі втрати, мала вага	Великі габарити, потрібне кріплення

Житомирська політехніка	МІНІСТЕРСТВО ОСВІТИ І НАУКИ УКРАЇНИ ДЕРЖАВНИЙ УНІВЕРСИТЕТ «ЖИТОМИРСЬКА ПОЛІТЕХНІКА» Система управління якістю відповідає ДСТУ ISO 9001:2015	Ф-22.06- 05.02/2/172.00.1/М /ВК2.2-2021
	<i>Екземпляр № 1</i>	<i>Арк 68 / 23</i>

Симетрична смужкова лінія високої граничної потужності		Велика гранична потужність, Мвт	Великі габарити, висока вартість, потрібне кріплення
Симетрична друкована смужкова лінія		Малі габарити, не потрібне кріплення	Порівняно великі втрати, велика вага
Високодобротна смужкова лінія		Малі втрати	Потрібне кріплення, порівняно великі габарити

Мікросмужкові лінії передачі застосовуються в гібридних і монолітних інтегральних схемах (ІС) НВЧ діапазону. У гібридних ІС різні дискретні компоненти (транзистори, діоди і т. д.) поміщені у невеликому корпусі (або модулі) мікросмужкової конструкції. В монолітних ІС всі елементи схеми реалізуються усередині загальної напівпровідникової пластини і частково на її поверхні. Гібридні схеми в порівнянні з монолітними володіють: кращими електричними характеристиками, широкою смugoю пропускання, малими шумами, високою добротністю і стабільністю. Монолітні схеми мають нижчу вартість, менші габарити і більшою мірою пристосовані для автоматизованого виробництва.

Робоча смуга частот. Довжини хвиль.

Теоретичних обмежень для вживання смужкових ліній в області низьких частот не існує. У деяких пристроях смужкові лінії служать для передачі постійного струму (наприклад, в детекторних секціях). Практично, оскільки розміри смужкових резонансних елементів на дуже низьких частотах стають значними, рекомендується застосовувати смужкові лінії, на частотах вище 100 Мгц.

Житомирська політехніка	МІНІСТЕРСТВО ОСВІТИ І НАУКИ УКРАЇНИ ДЕРЖАВНИЙ УНІВЕРСИТЕТ «ЖИТОМИРСЬКА ПОЛІТЕХНІКА» Система управління якістю відповідає ДСТУ ISO 9001:2015	Ф-22.06- 05.02/2/172.00.1/М /ВК2.2-2021
	<i>Екземпляр № 1</i>	Арк 68 / 24

На високих частотах вживання смужкових систем обмежене вимогами високих допусків на виготовлення, а також наявністю втрат в лінії передачі. На хвілях коротше за 1 см габаритно-вагові переваги смужкових ліній в порівнянні з хвилеводами практично відсутні, тому в короткохвильовій частині міліметрового діапазону хвиль в основному використовують хвилеводні лінії передачі.

Діапазон частот мікросмужкових ліній значно ширше, ніж у стандартних прямокутних хвилеводів і становить 100-30000 МГц. При проектуванні інтегральних схем слід враховувати, що робоча частота мікросмужкової схеми повинна бути нижче критичної частоти f_c (частоти зрізу) поперечної електричної поверхневої хвилі найнижчого порядку, що визначається за формулою:

$$f_c = \frac{75}{h(\epsilon - 1)^{\frac{1}{2}}} \quad [\Gamma\Gamma], \quad (3.1)$$

де h – товщина підкладки, мм.

Так, наприклад, для мікросмужкової лінії з керамічною підкладкою ($\epsilon \approx 10$) завтовшки $h = 0,5$ мм критична частота $f_c \approx 50$ ГГц.

На високих частотах $f > 14$ ГГц (міліметровий діапазон хвиль) перевага віддається IC у монолітному виконанні, що має менші габарити і вартість в порівнянні з гібридним IC. У більш довгохвильовому діапазоні використовуються гібридні схеми.

Довжина хвилі в симетричній смужковій лінії, що працює з коливаннями типу TEM, рівна:

$$\Lambda_{TEM} = \lambda / \sqrt{\epsilon}, \quad (3.2)$$

де λ – довжина хвилі у вільному просторі;

ϵ – відносна діелектрична проникність матеріалу підкладки.

Довжина хвилі в несиметричній смужковій лінії визначається таким чином [2.2]:

Житомирська політехніка	МІНІСТЕРСТВО ОСВІТИ І НАУКИ УКРАЇНИ ДЕРЖАВНИЙ УНІВЕРСИТЕТ «ЖИТОМИРСЬКА ПОЛІТЕХНІКА» Система управління якістю відповідає ДСТУ ISO 9001:2015 <i>Екземпляр № 1</i>	Ф-22.06- 05.02/2/172.00.1/М /ВК2.2-2021
----------------------------	--	--

$$\Lambda \approx \frac{\lambda}{\sqrt{\epsilon}} K = \Lambda_{TEM} K = \frac{\lambda}{\sqrt{\epsilon_{eff}}} , \quad (3.3)$$

де $K = \frac{\Lambda}{\Lambda_{TEM}}$ – коефіцієнт подовження хвилі;

$\epsilon_{eff} = \frac{\epsilon}{K^2}$ – ефективна діелектрична проникність.

При $W/h \geq 0,6$ маємо:

$$K = \left[\frac{\epsilon}{1 + 0,63(\epsilon - 1)(W/h)^{0,1255}} \right]^{1/2}, \quad (3.3, a)$$

а при $W/h \leq 0,6$

$$K = \left[\frac{\epsilon}{1 + 0,6(\epsilon - 1)(W/h)^{0,0297}} \right]^{1/2}, \quad (3.3, b)$$

Величина $K = 1,1 \div 1,3$ залежить від відношення W/h до ϵ і може бути визначена за графіком рис. 3.3, а.

Житомирська політехніка	МІНІСТЕРСТВО ОСВІТИ І НАУКИ УКРАЇНИ ДЕРЖАВНИЙ УНІВЕРСИТЕТ «ЖИТОМИРСЬКА ПОЛІТЕХНІКА» Система управління якістю відповідає ДСТУ ISO 9001:2015	Ф-22.06- 05.02/2/172.00.1/М /ВК2.2-2021
	<i>Екземпляр № 1</i>	Арк 68 / 26

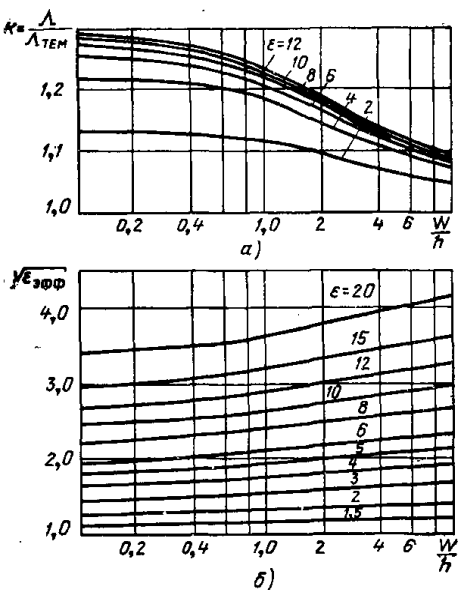


Рис. 3.3. Графік залежності коефіцієнта подовження хвилі (а) і ефективної діелектричної проникності (б) несиметричної друкарської полоскової лінії від W/h для різних ϵ .

Ефективна діелектрична проникність обчислюється за формулою:

$$\epsilon'_{\text{eff}} = 1 + q(\epsilon - 1) = \frac{\epsilon + 1}{2} + \frac{\epsilon - 1}{2} \left(1 + \frac{10h}{W} \right)^{-1/2}, \quad (3.4)$$

де $q = 0,55 \div 0,85$ – коефіцієнт заповнення діелектрика, що залежить від W/h , відносної діелектричної проникності ϵ і геометричних контурів кордону між повітряним і діелектричним середовищем (рис. 3.3, б).

Надалі довжину хвилі в будь-якому типові смужкової лінії позначатимемо через Λ .

Житомирська політехніка	МІНІСТЕРСТВО ОСВІТИ І НАУКИ УКРАЇНИ ДЕРЖАВНИЙ УНІВЕРСИТЕТ «ЖИТОМИРСЬКА ПОЛІТЕХНІКА» Система управління якістю відповідає ДСТУ ISO 9001:2015 <i>Екземпляр № 1</i>	Ф-22.06- 05.02/2/172.00.1/М /ВК2.2-2021
----------------------------	--	--

Гранична потужність. Потужність, при якій виникає високочастотний пробій смужкової лінії, називається граничною або розрядною потужністю. При роботі на високому рівні потужності смужкові системи не можуть конкурувати з хвилеводами. Найменшу граничну потужність мають несиметричні смужкові лінії, в яких із збільшенням передаваної потужності відбувається перегрів вузького провідника лінії і збільшення втрат потужності.

Для передачі дуже великих потужностей (мегаватний піковий рівень) використовується симетрична лінія високої граничної потужності (див. табл. 3.1). Ефект корони в такій лінії усувається за рахунок потовщення смужки (до 3 мм) і її закруглення на краях.

У мікросмужкових лініях передачі гібридних інтегральних схем гранична потужність при роботі в режимі безперервних коливань складає декілька десятків ватів, а при роботі в імпульсному режимі – одиниці кіловат. Ще нижчий рівень граничної потужності (одиниці ватів в безперервному режимі) мають напівпровідникові монолітні інтегральні схеми. Одним із способів підвищення рівня граничної потужності, що пропускається, є використання як підкладки в мікросмужковій лінії матеріалів з великою тепlopровідністю (типа нітриду бору, окислу берилію).

Інший спосіб полягає в тому, що прилади з великою тепловіддачею вмонтовуються на окремих керамічних пластинах, наприклад з берилієвої кераміки (з коефіцієнтом тепlopровідності $k = 0,4 \frac{\text{кал}}{\text{см} \cdot \text{с}^\circ \text{C}}$, які включаються в мікросмужкову IC з підкладкою з

високоглиноземистої кераміки $\left(k = 0,05 \frac{\text{кал}}{\text{см} \cdot \text{с}^\circ \text{C}} \right)$.

Загасання і добродійність. Загальне загасання смужкової лінії рівне:

$$\alpha = \alpha_c + \alpha_d + \alpha_i, \quad (3.5)$$

де α_c – загасання, визначуване втратами в провіднику;

Житомирська політехніка	МІНІСТЕРСТВО ОСВІТИ І НАУКИ УКРАЇНИ ДЕРЖАВНИЙ УНІВЕРСИТЕТ «ЖИТОМИРСЬКА ПОЛІТЕХНІКА» Система управління якістю відповідає ДСТУ ISO 9001:2015 <i>Екземпляр № 1</i>	Ф-22.06- 05.02/2/172.00.1/М /ВК2.2-2021
------------------------------------	--	--

α_d – загасання, обумовлене втратами в діелектрику;

α_i – загасання унаслідок випромінювання.

У техніці НВЧ важливим параметром є загасання на одиницю довжини хвилі (дБ/λ), оскільки при розрахунку фільтрів і направлених відгалужувачів необхідна довжина відрізків лінії передачі є функцією робочої частоти.

Несиметрична смужкова і мікросмужкова лінії.

В несиметричній смужковій лінії загасання в провідниках дорівнює:

$$\alpha_c \approx \frac{8,7R_s}{\rho W} \left[\frac{\partial B}{e.d. \text{ длины}} \right], \quad (3.6)$$

де R_s – опір поверхневого шару на НВЧ в Ω/m^2 ;

ρ – хвилевий опір смужкової лінії.

Затухання в діелектрику становить:

$$\alpha_c \approx 27,3 \frac{\sqrt{\epsilon} \operatorname{tg} \delta}{\lambda} \left[\frac{\partial B}{od. \text{ довжини}} \right], \quad (3.7)$$

а загасання унаслідок випромінювання:

$$\alpha_i = \frac{P_i}{P_0} = \frac{320}{\rho} \left(\frac{\pi h}{\lambda^2} \right) \left[\frac{\partial B}{od. \text{ довжини}} \right], \quad (3.8)$$

де P_0 – потужність сигналу, що пропускається через лінію;

P_i – випромінювана потужність.

Для мікросмужкових ліній, що мають підкладку з високою відносною діелектричною проникністю, загасанням унаслідок випромінювання α_i зазвичай нехтують, при цьому $\alpha = \alpha_c + \alpha_d$, де затухання в діелектрику:

Житомирська політехніка	МІНІСТЕРСТВО ОСВІТИ І НАУКИ УКРАЇНИ ДЕРЖАВНИЙ УНІВЕРСИТЕТ «ЖИТОМИРСЬКА ПОЛІТЕХНІКА» Система управління якістю відповідає ДСТУ ISO 9001:2015	Ф-22.06- 05.02/2/172.00.1/М /ВК2.2-2021
	Екземпляр № 1	Арк 68 / 29

$$\alpha_c \approx 27,3 \frac{q\epsilon}{\epsilon_{eff}} \cdot \frac{\operatorname{tg} \delta}{\Lambda} \left[\frac{\partial B}{\text{од. довжини}} \right], \quad (3.9)$$

або

$$\alpha_c \approx \frac{\pi q\epsilon}{\epsilon_{eff}} \cdot \frac{\operatorname{tg} \delta}{\Lambda} \left[\frac{Hn}{\text{од. довжини}} \right]. \quad (3.10)$$

У мікросмужкових лініях, виконаних на діелектрику з малим загасанням (типу кераміки), основне джерело втрат обумовлене кінцевою провідністю металу. Струм в провідниках лінії концентрується в шарі, товщина якого рівна приблизно товщині скіншару δ_c (на глибині скіншару щільність струму на 1 Hn, тобто в 2,7 рази менше, ніж щільність струму на поверхні провідника). В більшості випадків досить, щоб товщина провідника і заземленої пластини складали 3-5 скіншарів. У таблиці 3.2 приведені значення товщини скіншару плівок різних металів, поділені на квадратний корінь з частоти $\frac{\delta_c}{\sqrt{f(\Gamma u)}}$, а також значення об'ємних провідностей σ .

У мікросмужкових лініях передачі загасання, обумовлене втратами в провіднику (омічні втрати), визначається в децибелах таким чином: при $\frac{W}{h} \leq \frac{1}{2\pi}$

$$\frac{a_c \rho_0 h}{R_s} = \frac{8,68}{2\pi} \left[1 - \left(\frac{W_{ef}}{4h} \right)^2 \right] \cdot \left[1 + \frac{h}{W_{ef}} + \frac{h}{\pi W_{ef}} \left(\ln \frac{4\pi W}{t} + \frac{t}{W} \right) \right]; \quad (3.11)$$

при $\frac{1}{2\pi} < \frac{W}{h} \leq 2$

Житомирська політехніка	МІНІСТЕРСТВО ОСВІТИ І НАУКИ УКРАЇНИ ДЕРЖАВНИЙ УНІВЕРСИТЕТ «ЖИТОМИРСЬКА ПОЛІТЕХНІКА» Система управління якістю відповідає ДСТУ ISO 9001:2015	Ф-22.06- 05.02/2/172.00.1/М /ВК2.2-2021
	Екземпляр № 1	Арк 68 / 30

$$\frac{a_c \rho_0 h}{R_s} = \frac{8,68}{2\pi} \left[1 - \left(\frac{W_{e\phi}}{4h} \right)^2 \right] \cdot \left[1 + \frac{h}{W_{e\phi}} + \frac{h}{\pi W_{e\phi}} \left(\ln \frac{2h}{t} + \frac{t}{h} \right) \right]. \quad (3.12)$$

Таблиця 3.2

Метал	Ag	Cu	Au	Al	W	Mo	P1	Cr	Ta
Об'ємна провідність $\sigma, (\Omega \cdot m)^{-1} \cdot 10^{-7}$	6,17	5,8	4,1	3,72	1,78	1,76	0,94	0,77	0,64
Нормована товщина скіншару $\sigma_c / \sqrt{f[\Gamma u]}$, мкм	2,03	2,09	2,49	2,61	3,76	3,8	5,2	5,75	6,26

На рис. 3.4 приведені залежності втрат мікросмужкової лінії від відношення $\frac{W}{h}$. У монолітних IC загасання в напівпровідниковій підкладці істотне:

$$a_d = \frac{188}{\sqrt{\varepsilon \cdot \rho_i}} \cdot \frac{1}{1 + 1,735 \varepsilon^{-0,0724} \left(\frac{W}{h} \right)^{0,836}} \left[\frac{Hn}{m} \right], \quad (3.13)$$

Житомирська політехніка	МІНІСТЕРСТВО ОСВІТИ І НАУКИ УКРАЇНИ ДЕРЖАВНИЙ УНІВЕРСИТЕТ «ЖИТОМИРСЬКА ПОЛІТЕХНІКА» Система управління якістю відповідає ДСТУ ISO 9001:2015	Ф-22.06- 05.02/2/172.00.1/М /ВК2.2-2021
	<i>Екземпляр № 1</i>	<i>Арк 68 / 31</i>

звідки витікає, що чим менше питомий опір підкладки ρ_i (в $\Omega \cdot \text{см}$), тим більше затухання.

На рис. 3.5 показана залежність затухання (визначуваного, в основному, затуханням напівпровідникової підкладки) на одиницю довжини хвилі в мікросмужковій лінії від частоти для трьох значень питомого опору кремнію при товщині кремнієвої підкладки $h = 250$ мкм.

При розрахунку затухання і добротності часто користуються поняттям повного загасання лінії αl для резонансного чвертьхвильового відрізка лінії:

$$\alpha l = \frac{\pi}{4Q} = \frac{0,785}{Q} [Hn] \quad (3.14)$$

Житомирська політехніка	МІНІСТЕРСТВО ОСВІТИ І НАУКИ УКРАЇНИ ДЕРЖАВНИЙ УНІВЕРСИТЕТ «ЖИТОМИРСЬКА ПОЛІТЕХНІКА» Система управління якістю відповідає ДСТУ ISO 9001:2015	Ф-22.06- 05.02/2/172.00.1/М /ВК2.2-2021
	Екземпляр № 1	Арк 68 / 32

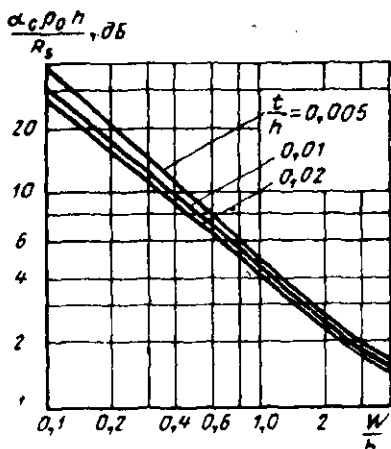


Рис. 3.4. Графік залежності втрат мікросмужкової лінії

$$\text{від } \frac{W}{h}$$

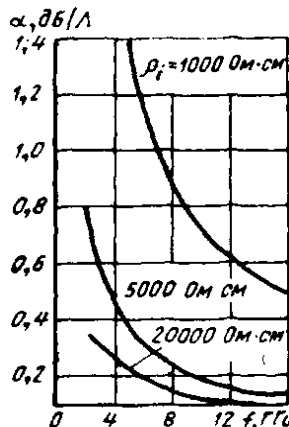


Рис. 3.5. Частотна характеристика затухання на одиницю довжини хвилі в мікросмужковій лінії з кремнієвою підкладкою різного питомого опору

Добротність чвертьхвильового резонатора на мікросмужковій лінії дорівнює:

$$Q = \frac{Q_d \cdot Q_c}{Q_d + Q_c}, \quad (3.15)$$

де $Q_c = \frac{1}{6} \cdot \frac{\Lambda_{TEM}}{\Lambda} W \rho \sqrt{f[\Gamma\Gamma_u]}$ – добротність мікросмужкової

лінії, що визначається втратами в провідниках;

$Q_d = \frac{\mathcal{E}_{ef}}{q\varepsilon} \cdot \frac{1}{tg\delta}$ – добротність мікросмужкової лінії, що

визначається втратами в діелектрику. Добротність мікросмужкової

Житомирська політехніка	МІНІСТЕРСТВО ОСВІТИ І НАУКИ УКРАЇНИ ДЕРЖАВНИЙ УНІВЕРСИТЕТ «ЖИТОМИРСЬКА ПОЛІТЕХНІКА» Система управління якістю відповідає ДСТУ ISO 9001:2015	Ф-22.06- 05.02/2/172.00.1/М /ВК2.2-2021
	<i>Екземпляр № 1</i>	Арк 68 / 33

лінії, що визначається втратами в напівпровідниковій підкладці,

$$Q_d \approx \omega \rho_i \varepsilon.$$

Мікросмужкова лінія не дозволяє реалізувати схеми з високою добродійністю; величина добродійності такої лінії завтовшки 0,25–1,0 мм залежно від матеріалу підкладки, властивостей провідника і робочої частоти змінюється в межах від 20 до 400.

4. Опис лабораторної установки

В лабораторній роботі використовуються моделі НВЧ перетворювачів частоти (Balanced_Diode_Mixer.emp; Diode_Mixer.emp; FET_Multipler.emp; RatRace.emp); НВЧ фільтрів (3D_Comb_Filter.emp; 5Ghz_Interdigital_Filter.emp; 8GHz_LPF.emp; 18Ghz_LPF.emp;). Дані моделі створені у середовищі моделювання Microwave Office.

5. Порядок виконання роботи

1. Запустити середовище Microwave Office, відкрити папку з моделями фільтрів: File/Open project/диск с/папка MWO/Examples/Mixers відкрити модель **Balanced_Diode_Mixer.emp**.

1.1. Зняти наступні характеристики для початкових умов: Conversion loss (dB/mВт), Current output (time graph), АЧХ ФНЧ (IF (на проміжній частоті) Low pass filter), Spectrum analyzer, Isolation RF to LO (перехідне послаблення при перетворенні з високої на низьку частоту, dB/mВт), LO to RF (перехідне послаблення при перетворенні з низької на високу частоту, dB/mВт), визначити призначення фільтру.

1.2 Зняти залежність характеристик фільтру в залежності від параметрів матеріалу провідника (Schematics\EM Structures\Condactor materials+натиснути правою клавішею миші і вибрати Create New Material).

a) Perfect conductor – стоїть по замовчанню.

a) Material name – 01; Compute properties from physical parameters; condactor thickness: (5; 100 mil); material conductivity: (50; 1000).

Житомирська політехніка	<p style="text-align: center; margin: 0;">МІНІСТЕРСТВО ОСВІТИ І НАУКИ УКРАЇНИ ДЕРЖАВНИЙ УНІВЕРСИТЕТ «ЖИТОМИРСЬКА ПОЛІТЕХНІКА» Система управління якістю відповідає ДСТУ ISO 9001:2015</p>	<p style="text-align: center; margin: 0;">Ф-22.06- 05.02/2/172.00.1/М /ВК2.2-2021</p>
	<i>Екземпляр № 1</i>	Арк 68 / 34

2. Відкрити модель **Diode_Mixer.emp**, повторити досліди п. 1.
3. Відкрити модель **FET_MultiIplifier.emp**, повторити досліди п. 1.
4. Відкрити модель **RatRace.emp**, повторити досліди п. 1.
 - 4.1. Зняти залежність характеристик фільтру в залежності від типу матеріалу для нижнього та верхнього шарів – 8 залежностей (Schematics\EM Structures\Enclosure\Boundaries).
 - 4.2. Зняти залежність характеристик фільтру в залежності від кількості та товщини шарів провідника. (Schematics \ EM Structures \ Rat Race \ Enclosure \ Dielectric layers). Змінити почергово початкову товщину шарів Layer 1 та Layer 2, на значення, отримані помноживши початкове значення на коефіцієнти (0,2; 0,6; 1,25; 2, 5). Додати один шар матеріалу Add Above, Add Below. Убрати верхній шар.
5. Запустити середовище Microwave Office 2001, відкрити папку з моделями фільтрів: File/Open project/диск с/ папка MWO 2001/Examples/Filters відкрити модель 5Ghz_Interdigital_Filter.emp.
 - 5.1 Зняти АЧХ (Stopband, Passband, Return loss), визначити напрямки протікання струму в режимі 2D, 3D View, Animate play, визначити призначення фільтру.
 - 5.2 Зняти залежність характеристик фільтру в залежності від типу матеріалу для нижнього та верхнього шарів – 8 залежностей (Schematics\EM Simulations\Enclosure\Boundaries).
 - 5.3 Зняти залежність характеристик фільтру в залежності від кількості та товщини шарів провідника. (Schematics\EM Simulations\Enclosure\Dielectric layers). Змінити товщину шарів (1/5, 2/5, 3/5, 4/5, 6/5, 7/5, 8/5, 9/5, 2) від поточних значень. Додати шар матеріалу Add Above, Add Below. Убрати верхній шар.

Житомирська політехніка	МІНІСТЕРСТВО ОСВІТИ І НАУКИ УКРАЇНИ ДЕРЖАВНИЙ УНІВЕРСИТЕТ «ЖИТОМИРСЬКА ПОЛІТЕХНІКА» Система управління якістю відповідає ДСТУ ISO 9001:2015 <i>Екземпляр № 1</i>	Ф-22.06- 05.02/2/172.00.1/М /ВК2.2-2021
----------------------------	--	--

Зняти АЧХ (Stopband, Passband, Return loss), визначити напрямки протікання струму в режимі 2D, 3D View, Animate play, визначити призначення фільтру.

6. Відкрити модель 3D_Comb_Filter.emp. Виконати досліди п.1 для Schematics\EM Sight_Iris, _No Iris\Enclosure. Зняти АЧХ, годограф імпедансу, визначити призначення фільтру.

7. Відкрити модель 18Ghz_LPF.emp. Виконати досліди п.1 для Schematics\EM LPF2 \Enclosure.

8. Відкрити модель 8GHz_LPF.emp. Виконати досліди п.1 для Schematics\LPF EMSight\Enclosure.

Зняти АЧХ (Stopband, Passband, Group delay, ...), визначити напрямки протікання струму в режимі 2D, 3D View, Animate play, визначити призначення фільтру.

6. Обробка результатів

1. За отриманими характеристиками НВЧ перетворювачів частоти визначити їх призначення та основні параметри.

2. За результатами досліджень і розрахунків зробити висновки.

3. Результати досліджень і розрахунків оформити у вигляді звіту, який підлягає індивідуальному захисту.

7. Зміст звіту. Звіт повинен містити:

1. Схеми досліджуваних пристройів та результати досліджень.

2. Результати розрахунків та відповідні графіки.

3. Зробити висновки: про об'єм виконаної роботи, чи досягнена мета роботи, чи практичні результати співпадали з теоретичними.

8. Контрольні тестові питання

1. Що називають смужковою лінією передачі?

2. Які є типи смужкових ліній?

3. В якому діапазоні хвиль використовують мікросмужкомі лінії?

4. Як залежить критична частота поперечної електричної поверхневої хвилі найнижчого порядку від товщини підкладки?

Житомирська політехніка	МІНІСТЕРСТВО ОСВІТИ І НАУКИ УКРАЇНИ ДЕРЖАВНИЙ УНІВЕРСИТЕТ «ЖИТОМИРСЬКА ПОЛІТЕХНІКА» Система управління якістю відповідає ДСТУ ISO 9001:2015 <i>Екземпляр № 1</i>	Ф-22.06- 05.02/2/172.00.1/М /ВК2.2-2021
----------------------------	--	--

5. Що таке ТЕМ хвиля?

6. Як визначається довжина хвилі в симетричній смужковій лінії, що працює з коливаннями типу ТЕМ?

7. Як співвідноситься довжина хвилі в симетричній та не симетричній смужковій лінії?

8. Що таке гранична потужність смужкової лінії?

9. Які складові загального загасання смужкової лінії?

10. Що таке скін-шар провідника?

Література

1. Радіотехніка: Енциклопедичний навчальний довідник: навчальний посіб. / За ред. Ю.Л. Мазора, Є.А. Мачуського, В.І. Правди – К.: Вища шк., 1999. – 838 с.: іл.
2. Ципоренко В.В. Методи і засоби обробки НВЧ сигналів у радіотехнічних системах: Навчальний посібник. – Житомир: Державний університет «Житомирська політехніка», 2021. 141 с. ISBN 978-966-683-570-6
3. Proakis J.G. (2006). Digital Signal Processing, Principles, Algorithms, and Applications. 4-th Edition. – New Jersey: Prentice-Hall, Inc. Upper Saddle River, NJ, USA, 1077.

Житомирська політехніка	МІНІСТЕРСТВО ОСВІТИ І НАУКИ УКРАЇНИ ДЕРЖАВНИЙ УНІВЕРСИТЕТ «ЖИТОМИРСЬКА ПОЛІТЕХНІКА» Система управління якістю відповідає ДСТУ ISO 9001:2015 <i>Екземпляр № 1</i>	Ф-22.06- 05.02/2/172.00.1/М /ВК2.2-2021
------------------------------------	--	--

Лабораторна робота №3

Дослідження алгоритмів оброблення сигналів в цифровій лінійній АР

1. Навчальні питання

1. Дослідити основні властивості ДПФ дійсних та комплексних радіосигналів.
2. Дослідити основні властивості ШПФ дійсних та комплексних радіосигналів.

2. Навчальна мета

1. Експериментальне дослідження основних властивостей дискретного перетворення Фур'є (ДПФ) та швидкого перетворення Фур'є (ШПФ), що використовуються при цифрової обробці радіосигналів.

3. Теоретичні відомості

Нагадаємо загальні відомості про трансформацію Фур'є неперервного в часі сигналу. Із теорії систем відомо, що за допомогою трансформації Фур'є обмеженої в часі функції $f(t)$ можна визначити спектр $F(j\omega)$ і навпаки через обернену трансформацію Фур'є можна з спектральної функції $F(j\omega)$ визначити функцію залежності від часу $f(t)$

$$F(j\omega) = \int_{-\infty}^{+\infty} f(t)e^{-j\omega t} dt \quad (3.1)$$

$$f(t) = \frac{1}{2\pi} \int_{-\infty}^{+\infty} F(j\omega)e^{j\omega t} d\omega \quad (3.2)$$

$$f(t) = 3e^{-t/T} \sin 2\pi ft \quad (3.3)$$

Житомирська політехніка	МІНІСТЕРСТВО ОСВІТИ І НАУКИ УКРАЇНИ ДЕРЖАВНИЙ УНІВЕРСИТЕТ «ЖИТОМИРСЬКА ПОЛІТЕХНІКА» Система управління якістю відповідає ДСТУ ISO 9001:2015	Ф-22.06- 05.02/2/172.00.1/М /ВК2.2-2021
	Екземпляр № 1	Арк 68 / 38

Спектральна функція $F(j\omega)$ є комплексною з дійсною та уявною частинами, інакше кажучи, з модулем та фазою. Часто обчислюється лише модуль $F(j\omega)$ залежно від ω або f та зображується як амплітудний спектр. Якщо, наприклад, функція залежності від часу є характеристикою напруги у вольтах, то розмірність спектральної функції $F(j\omega)$ при інтегруванні за часом (секунди) буде $B^*C = B/(1/C) = B/\text{Гц}$. Для прикладу на рис. 3.1 зображені залежності $f(t)$ для струму в резонансному контурі від стадії збудження до згасаючого коливання (в амперах)

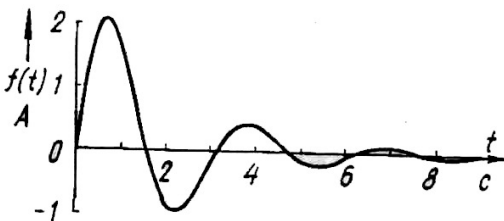


Рис. 3.1. Досліджувана функція $f(t) = 3e^{-t/T} \sin 2\pi ft$ зі сталою згасання $T = 2\text{c}$ та частотою $f = 1/\pi c^{-1}$

Відповідний амплітудний спектр $|F(j\omega)|$ обчислений із (3.1) (в амперах на герц), з максимумом при $\omega = 2\text{c}^{-1}$ зображеній на рис.3.4, а.

$$F(j\omega) = \frac{6}{\sqrt{\omega^4 - 7,5\omega^2 + (17/4)^2}} \quad (3.4)$$

Дискретна трансформація Фур'є дискретизованого, обмеженого в часі сигналу.

Перейдемо до обчислення дискретної трансформації $F_d = (j\omega)$ на базі послідовності вибірок спочатку обмеженого в часі сигналу. За основу візьмемо згасаючу функцію $f(t)$ (див. рис.3.1). Вона була

Житомирська політехніка	МІНІСТЕРСТВО ОСВІТИ І НАУКИ УКРАЇНИ ДЕРЖАВНИЙ УНІВЕРСИТЕТ «ЖИТОМИРСЬКА ПОЛІТЕХНІКА» Система управління якістю відповідає ДСТУ ISO 9001:2015	Ф-22.06- 05.02/2/172.00.1/М /ВК2.2-2021
	Екземпляр № 1	Арк 68 / 39

вимірюна в точках часу $t_n = nT_a$, причому індекс n пробігає від 0 до $N - 1$. Через T_a позначимо період дискретизації (рис.3.2).

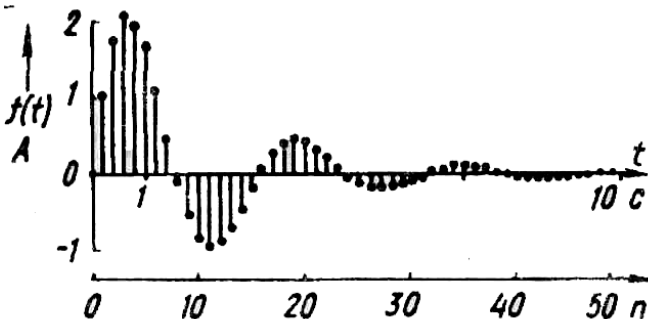


Рис.3.2. Дискретизовані функції з Періодом дискретизації $T_a = 0.2\text{с}$ кількістю вибірок $N = 50$ сумарним часом вимірювання $NT_a = 10\text{с}$

У цьому випадку загальний час спостереження (об'єм вибірок) становитиме N - кратне від періоду дискретизації

$$T = NT_a \quad (3.5)$$

Добуті вибікові значення функції $f(t)$ відомі тільки для дискретних точок часу nT_a , тобто з неперервної змінної t виникла дискретна nT_a . Постає завдання: із дискретних значень амплітуди $f(nT_a)$ визначити відповідну спектральну функцію. Це обчислення називають дискретною трансформацією Фур'є $F_d(j\omega)$ (ДТФ) (на відміну від трансформації Фур'є неперервного сигналу). Для отримання алгоритму обчислення дискретної трансформації Фур'є необхідно замінити у (3.1) t на nT_a :

$$\begin{aligned} &f(t) \text{ через } f(nT_a) \\ &e^{-j\omega t} \text{ через } e^{-j\omega nT_a} \end{aligned} \quad (3.6)$$

для обчислення з дискретними величинами.

Житомирська політехніка	МІНІСТЕРСТВО ОСВІТИ І НАУКИ УКРАЇНИ ДЕРЖАВНИЙ УНІВЕРСИТЕТ «ЖИТОМИРСЬКА ПОЛІТЕХНІКА» Система управління якістю відповідає ДСТУ ISO 9001:2015	Ф-22.06- 05.02/2/172.00.1/М /ВК2.2-2021
	<i>Екземпляр № 1</i>	Арк 68 / 40

Апроксимуємо інтеграл у (3.1) відповідно до (7.33) як суму прямокутників з висотою $f(nT_a)$ та шириною T_a

$$\int f(t)dt \approx T_a \sum f(nT_a) \quad (3.7)$$

Множення на величину інтервалу дискретизації не входить в означення ДТФ. Враховуючи кругову функцію, дістанемо алгоритм

$$\begin{aligned} F_d(j\omega) &= \sum_{n=0}^{N-1} f(nT_a) e^{-j\omega nT_a} = \\ &= \sum_{n=0}^{N-1} f(nT_a) \cos \omega T_a - j \sum_{n=0}^{N-1} (nT_a) \sin \omega nT_a \end{aligned} \quad (3.8)$$

Вираз (3.8) не є завершеною формою запису ДТФ, але його все ж можна порівняти з рівнянням (3.1) трансформації Фур'є для неперервних сигналів. Обидва види трансформацій мають такі спільні властивості:

- а) якщо залежна від часу функція парна, тобто $f_{n=} + f_{-n}$ то спектральна функція також парна та дійсна;
- б) якщо залежна від часу функція непарна, тобто $f_{n=} - f_{-n}$ то спектральна функція непарна та уявна;
- в) $F(j\omega)$ та $F(-j\omega)$ (або відповідно $F_d(j\omega)$ та $F_d(-j\omega)$) комплексно-спряжені.

Крім того, ДТФ має ще особливості, які будуть розглянуті далі:

- г) періодична відносно аргументу ω з періодом $2\pi/T_a$ та періодична відносно аргументу f з періодом $1/T_a = f_a$;
- д) дорівнює за значенням трансформації Фур'є лише після перемноження з інтервалом дискретизації T_a ;
- е) обчислюється лише для дискретних значень ω_k .

Житомирська політехніка	МІНІСТЕРСТВО ОСВІТИ І НАУКИ УКРАЇНИ ДЕРЖАВНИЙ УНІВЕРСИТЕТ «ЖИТОМИРСЬКА ПОЛІТЕХНІКА» Система управління якістю відповідає ДСТУ ISO 9001:2015	Ф-22.06- 05.02/2/172.00.1/М /ВК2.2-2021
	Екземпляр № 1	Арк 68 / 41

Експоненціальна функція, що описана виразом (3.8), має період 2%: Відповідно до цього:

$$\text{т } F_d(j\omega) = F_d \left(j \left[\omega + 2 \frac{\pi}{T_a} \right] \right). \quad (3.9)$$

обто

спектр повторюється періодично, відповідно $\omega = z2\pi/T_a$ чи відповідно з $f = zf_a$, де f – довільне ціле число, $f = 1, 2, \dots$. У той час, як періодична залежна від часу функція (ряд Фур'є) має дискретний спектр, спектр дисcreteї функції, одержаної вимірюванням вибірок, періодичний. З періодичності ДТФ можна встановити вимоги щодо частоти вибірок (дискретизації) f_a .

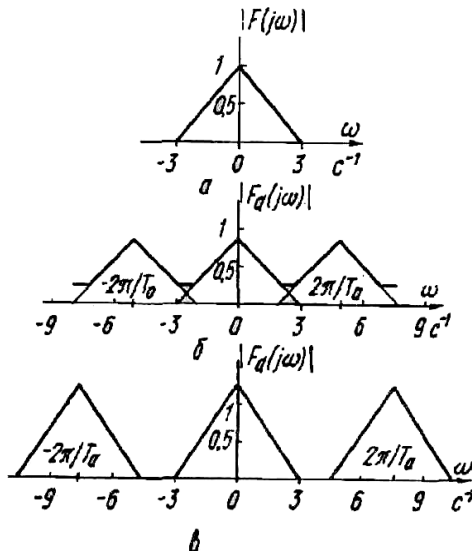


Рис. 3.3. Залежність між звичайною та дискретною трансформаціями Фур'є обмеженого по частоті сигналу: а-звичайна трансформація Фур'є; б-обвідна ДТФ з $T_a = 1,25c$; в-обвідна ДТФ з $T_a = 0,8c$

Житомирська політехніка	МІНІСТЕРСТВО ОСВІТИ І НАУКИ УКРАЇНИ ДЕРЖАВНИЙ УНІВЕРСИТЕТ «ЖИТОМИРСЬКА ПОЛІТЕХНІКА» Система управління якістю відповідає ДСТУ ISO 9001:2015	Ф-22.06- 05.02/2/172.00.1/М /ВК2.2-2021
	Екземпляр № 1	Арк 68 / 42

Спектри ДТФ, які повторюються, не повинні перекриватися, щоб не зашкодити один одному (рис.3.3). Це має місце у разі, коли найбільша частота сигналу f_{\max} не перевищує половини частоти дискретизації f_a :

$$f_{\max} < \frac{1}{2} f_a, \omega_{\max} < \frac{1}{2} \frac{2\pi}{T_a} \quad (3.10)$$

Ця вимога має назву теореми про вибірки (дискретизації), тобто частота дискретизації повинна бути більшою, ніж подвійне значення максимальної частоти.

Розглянемо пункт д). Якщо, наприклад, $f(t)$ описує графік напруги, то звичайна трансформація Фур'є згідно з (3.1) внаслідок інтегрування по часу вимірюється у вольтах на герц. У рівнянні (3.8) ДТФ інтеграл замінено сумаю, а множення на час відсутнє. Тому амплітуда ДТФ має розмірність вимірюваного значення. Отже, ДТФ (3.7) необхідно домножувати на інтервал дискретизації T_a для того, щоб вона відповідала за значенням звичайній трансформації Фур'є (3.1)

$$F(j\omega) = T_a \cdot F_d(j\omega) \quad (3.11)$$

У пункті е) неперервним аргументом є колова частота ω , яка може набувати будь-якого значення. Звідси випливає, що $F_d(j\omega)$ можна обчислювати для будь-якого значення, проте це не відповідає дійсності, оскільки в правій частині рівняння (3.8) маємо лише обмежене число дискретних даних $f(nT_a)$; тому амплітуди можна обчислити лише для обмеженого числа дискретних частот.

Кожна спектральна лінія складається з однієї дійсної та однієї уявної частини. Отже, із N наявних вибірок можна визначити амплітуди та фази для $N/2$ дискретних частот, які знаходяться в інтервалі від $f = 0$ до $f = f_a/2$. Відповідні спектральні лінії

Житомирська політехніка	МІНІСТЕРСТВО ОСВІТИ І НАУКИ УКРАЇНИ ДЕРЖАВНИЙ УНІВЕРСИТЕТ «ЖИТОМИРСЬКА ПОЛІТЕХНІКА» Система управління якістю відповідає ДСТУ ISO 9001:2015 Екземпляр № 1	Ф-22.06- 05.02/2/172.00.1/М /ВК2.2-2021
------------------------------------	--	--

повторюються в інтервалі від $f_a/2$ до f_a . В області між $f = 0$ та $f = f_a$ можна побудувати N ліній для частот

$$\omega_k = \frac{2\pi}{NT_a} k \quad (3.12, a)$$

$$f_k = \frac{1}{NT_a} k \quad (3.12, b)$$

Де $k = 0, 1, \dots, N - 1$. Якщо в рівнянні (3.8) замінити ω на ω_k , то дістанемо звичайну форму запису ДТФ

$$F_d(j\omega_k) = F_d\left(\frac{2\pi}{NT_a} k\right) = \sum_{n=0}^{N-1} f(nT_a) e^{-j\omega_k n T_a}$$

$$F_d(j\omega k) = \sum_{n=0}^{N-1} f(nT_a) e^{-j2\pi kn/N} \quad (3.13)$$

Де $k = 0, 1, \dots, N - 1$.

Дискретні значення частоти розташовані на відстані $\Delta\omega$, або відповідно Δf одне від одного:

$$\Delta\omega = \omega_{k+1} - \omega_k = \frac{2\pi}{NT_a} (k + 1 - k) = \frac{2\pi}{NT_a}$$

$$\Delta f = f_{k+1} - f_k = \frac{1}{NT_a} \quad (3.14)$$

Звідси виходить, що селективність, тобто спектральне розв'язання вимірювання, обернено пропорційне часу спостереження NT_a . На практиці максимальна частота сигналу визначається граничною частотою антиелізінгового фільтра. Амплітудна характеристика цього фільтра за граничною частотою спадає до нуля не перпендикулярно, а з деяким нахилом. Тому частота дискретизації та гранична частота повинні різнятися більш, ніж вдвое. Частоту

Житомирська політехніка	МІНІСТЕРСТВО ОСВІТИ І НАУКИ УКРАЇНИ ДЕРЖАВНИЙ УНІВЕРСИТЕТ «ЖИТОМИРСЬКА ПОЛІТЕХНІКА» Система управління якістю відповідає ДСТУ ISO 9001:2015	Ф-22.06- 05.02/2/172.00.1/М /ВК2.2-2021
	<i>Екземпляр № 1</i>	<i>Арк 68 / 44</i>

дискретизації вибирають в 5...20 разів більшою, ніж гранична частота сигналу.

Якщо умова теореми щодо вибірки виконується, то спектральна функція внаслідок перекривання не деформується. Ця теорема свідчить про відмінність окремих спектральних ліній. Для такого «спектрального розділення» мірилом служить не частота дискретизації f_a , а сумарний час спостереження NT_a

Приклад 3.1. З функції згідно з рис.3.1 протягом 10 с зроблено вибірки через проміжок часу в 0,2 с: період дискретизації $T_a = 0,2\text{с}$; частота дискретизації $f_a = 5\text{Гц}$; сумарний час спостереження $NT_a = 10\text{ с}$; кількість вибірок $N = 50$.

Спектральна функція, що обчислюється згідно з (3.10), періодична з $\omega = 2\pi/T_a = 2\pi/0,2 = 10\pi\text{c}^{-1}$. Амплітуди можна обчислити для всіх $N = 50$ дискретних частот ω_k . Згідно з (3.14) вони знаходяться одна від одної на відстані $2\pi/NT_a = 0,2\pi\text{c}^{-1}$. Послідовність вибірок складається з таких значень:

n	$nT_a, \text{с}$	$f(nT_a)$
0	0	0
1	0.2	1.0 576
2	0.4	1.7 620
3	0.6	2.0 714
...
47	9.4	0.0 014

Житомирська політехніка	МІНІСТЕРСТВО ОСВІТИ І НАУКИ УКРАЇНИ ДЕРЖАВНИЙ УНІВЕРСИТЕТ «ЖИТОМИРСЬКА ПОЛІТЕХНІКА» Система управління якістю відповідає ДСТУ ISO 9001:2015	Ф-22.06- 05.02/2/172.00.1/М /ВК2.2-2021
	<i>Екземпляр № 1</i>	Арк 68 / 45

48	9.6	0.0 085
49	9.8	0.0 152

Перемноженням ДТФ Фур'є з Т із (3.13) отримаємо:

$$T_a \cdot F_d(j\omega T_k) = T_a \sum_{n=0}^{N-1} f(nT_a) e^{-\omega k n T_a}$$

Модуль $T_a |F_d(j\omega T_k)|$:

$$T_a \sqrt{\left[\sum_{n=0}^{N-1} f(nT_a) \sin \omega_k n T_a \right]^2 + \left[\sum_{n=0}^{N-1} f(nT_a) \cos \omega_k n T_a \right]^2} \quad (3.15)$$

Для $\omega_k = \pi c^{-1}$ останнє рівняння має такі числові значення:

$$\begin{aligned} 0,2|F_d(j\omega_k = j\pi)| &= 0,2 \{ [0 \cos \pi 0 + 1,0571 \cos \pi 0,2 + \\ &+ 1,762 \cos \pi 0,4 + \dots + 0,0085 \cos \pi 9,6 + 0,0152 \cos \pi 9,8]^2 + \\ &+ [0 \sin 0 + 1,0571 \sin \pi 0,2 + \dots + 0,0085 \sin \pi 9,6 + 0,0152 \sin \pi 9,8]^2 \}^{1/2} = 0,9476 \end{aligned}$$

Отже, можна визначити амплітуди й для всіх інших значень частоти. Амплітудний спектр, обчислений згідно з (3.15), зображене на рис. 3.4, б. Взагалі із N значень амплітуди незалежними є тільки $N/2$. Спектри, які повторюються, перекриваються. Очевидно, що частота вибірок занадто низька.

Приклад 3.2. У другому досліді частоту дискретизації було збільшено тільки в два рази: період дискретизації $T_a = 0,1c$; частота дискретизації $f_a = 10\Gamma\mu$; сумарний час спостереження $NT_a = 10c$; кількість вибірок $N = 100$.

Спектральна функція має колову частоту $\omega = 2\pi/T_a = 2\pi/0,1 = 20\pi c^{-1}$. Всього можна обчислити амплітуди для

Житомирська політехніка	МІНІСТЕРСТВО ОСВІТИ І НАУКИ УКРАЇНИ ДЕРЖАВНИЙ УНІВЕРСИТЕТ «ЖИТОМИРСЬКА ПОЛІТЕХНІКА» Система управління якістю відповідає ДСТУ ISO 9001:2015 <i>Екземпляр № 1</i>	Ф-22.06- 05.02/2/172.00.1/М /ВК2.2-2021
----------------------------	--	--

$N = 100$ дискретних частот ω_k , які знову знаходяться на відстані $2n / NT_a = 0,6c^{-1}$ одна від одної. Амплітудний спектр, який при цьому отримаємо, зображене на рис. 3.4, в. Очевидно, що частота дискретизації достатньо висока, тому перекриття зникають.

4. Опис лабораторної установки

Для досліджень ДПФ та ШПФ, що використовуються при цифровій обробці радіосигналів використовується п'ятий розділ програми Numeri.

5. Підготовка до виконання роботи

1. Опрацювати необхідний теоретичний матеріал в рекомендованому переліку літератури.

2. Опрацювати методичні вказівки до проведення лабораторної роботи, уяснити мету роботи та принцип її виконання.

3. Вивчити технічні описи приладів, що входять до складу лабораторного робочого місця, а також спеціалізованого пакету прикладних програм ПЕОМ.

4. Виконати необхідні попередні розрахунки.

5. Відповісти на питання само тестування, готовності до виконання роботи.

6. Для кожного пункту третього розділу проробити та запропонувати свій варіант методики досліджень в загальному вигляді із обґрунтуванням використання конкретної моделюючої програми із пакету прикладних програм. Варіант методики досліджень узгодити із викладачем.

7. Вибрати тип і структуру моделюючих сигналів та розрахувати конкретні їх параметри і діапазони їх можливих значень. Підготувати програму модель із урахуванням проведених розрахунків та узгодити її з викладачем.

8. Проаналізувати і запропонувати можливість розширення і поглиблення досліджень стосовно особливостей процедур ДПФ при

Житомирська політехніка	МІНІСТЕРСТВО ОСВІТИ І НАУКИ УКРАЇНИ ДЕРЖАВНИЙ УНІВЕРСИТЕТ «ЖИТОМИРСЬКА ПОЛІТЕХНІКА» Система управління якістю відповідає ДСТУ ISO 9001:2015 <i>Екземпляр № 1</i>	Ф-22.06- 05.02/2/172.00.1/М /ВК2.2-2021
------------------------------------	--	--

обробці радіосигналів. Запропонувати варіанти додаткових досліджень в доповнення програми розділу 3.

6. Порядок виконання роботи

3.1. Дослідити основні властивості ДПФ дійсних радіосигналів для парної та непарної кількості відліків N_s реалізації $S(t_k)$. Дослідити ефекти комплексно-спряженої відповідності відліків та їх симетричність в межах смуги аналізу. Дослідження провести для різних форм сигналів та типів «вікон».

3.2. Дослідити основні властивості ДПФ дійсних радіосигналів, реалізація яких симетрична відносно початку і середини реалізації.

3.3. Дослідити основні властивості ДПФ дійсних сигналів в залежності від кількості відліків реалізації N_s , що обробляються.

3.4. Дослідити основні властивості ДПФ комплексних радіосигналів.

3.5. Дослідити лінійність ДПФ дійсних та комплексних радіосигналів.

3.6. Дослідити вплив на ДПФ радіосигналу його затримки у часі $S_H(t_k) = S(t_k \pm n_3)$

3.7. Дослідити властивості ДПФ добутку радіосигналів $S(t_k) = S_1(t_k) \cdot S_2(t_k)$ (дійсних, комплексних). В якості одного з варіантів другого сигналу $S_2(t_k)$ вибрати сигнали $S_1(t_k) = \sin(\omega t_k)$; $S_1(t_k) = \cos(\omega t_k)$; $S_1(t_k) = e^{\pm j\omega t_k}$.

3.8. Дослідити властивості ДПФ радіосигналів зі зворотнім порядком часових відліків у реалізації $S_H(t_k) = S(t_{Ns} - k)$.

3.9. Дослідити властивості ДПФ сигналів при додаванні до сигнальної реалізації відліків N_s нульових відліків N_0 .

Житомирська політехніка	МІНІСТЕРСТВО ОСВІТИ І НАУКИ УКРАЇНИ ДЕРЖАВНИЙ УНІВЕРСИТЕТ «ЖИТОМИРСЬКА ПОЛІТЕХНІКА» Система управління якістю відповідає ДСТУ ISO 9001:2015 <i>Екземпляр № 1</i>	Ф-22.06- 05.02/2/172.00.1/М /ВК2.2-2021 <i>Арк 68 / 48</i>
------------------------------------	--	--

3.10. Дослідити властивості ДПФ сигналів, що формуються шляхом вводу у масив сигнальних відліків N_s нульових відліків між кожними сумісними сигнальними відліками.

3.11. Дослідити властивості швидкого перетворення Фур'є (ШПФ) для умов пунктів 3.1 – 3.3.

3.12. Дослідити властивості зворотного ДПФ (ЗДПФ) сигналів після їх зсуву в частотній області визначення $Y(f_k) = X(f_k \pm \Delta f)$, а також при операції інверсії спектра при $y(k) = (-1)^k x(k)$.

7. Обробка результатів досліджень.

4.1. По кожному пункту досліджень розділу 3 виконати якісний аналіз отриманих результатів і виявити основні залежності та властивості ДПФ, ШПФ, зворотного ДПФ. Обробку виконати шляхом аналізу часових та спектральних діаграм радіосигналу.

4.2. По кожному пункту досліджень зняти кількісні характеристики параметрів ДПФ, ШПФ, ЗДПФ в залежності від трансформації вихідного масиву відліків та побудувати відповідні графіки, гістограми, тощо.

4.3. Виконати порівняльний аналіз отриманих результатів досліджень і виявити основні залежності результатів ДПФ, ШПФ, ЗДПФ від їх параметрів та попередніх перетворень.

4.4. По кожному пункту виконати теоретичний розрахунки і порівняти їх результати із отриманими експериментальними результатами.

4.5. По результатам виконаних досліджень та розрахунків зробити обґрунтовані аналіз і висновки.

4.6. Результатів досліджень оформити у вигляді звіту, що підлягає індивідуальному захисту.

8. Зміст звіту. Звіт повинен містити:

1. Аналітичне представлення ДПФ, ШПФ.
2. Результати досліджень та розрахунків і відповідні графіки.

Житомирська політехніка	МІНІСТЕРСТВО ОСВІТИ І НАУКИ УКРАЇНИ ДЕРЖАВНИЙ УНІВЕРСИТЕТ «ЖИТОМИРСЬКА ПОЛІТЕХНІКА» Система управління якістю відповідає ДСТУ ISO 9001:2015 <i>Екземпляр № 1</i>	Ф-22.06- 05.02/2/172.00.1/М /ВК2.2-2021
------------------------------------	--	--

3. Зробити висновки: про об'єм виконаної роботи, чи досягнена мета роботи, чи практичні результати співпадали з теоретичними.

9. Контрольні тестові питання

1. Дати визначення ДПФ, ШПФ, ЗДПФ.
2. Дати порівняльний аналіз властивостей ДПФ і ШПФ.
3. Які основні властивості ДПФ?
4. Який вплив на ДПФ радіосигналу має попереднє перемноження на вагову функцію «вікна»?
5. Як впливають на ДПФ радіосигналу додавання до масиву сигнальних відліків N_s нульових відліків N_0 ?
6. Як впливає на ДПФ радіосигналу довжина його реалізації у часовій області визначення?
7. Навести основні варіанти використання ДПФ, ШПФ, ЗДПФ в радіотехнічних системах.
8. Які основні властивості ДПФ дійсних радіосигналів?
9. Які основні властивості ДПФ комплексних радіосигналів?
10. Як впливає на ДПФ зсув радіосигналу у часі?

Література

1. Обробка сигналів: Підручник В.П. Бабак, В.С. Хандецький, Е. Шрюфер. – К.: Либідь, 1996. – 392 с.
2. Волощук Ю.І. Сигнали та процеси у радіотехніці: Підручник для студентів вищих навчальних закладів у 4-х т.: ТОВ „Компанія СМІТ”, 2005. – т.4; 496 с.
3. Радіотехніка: Енциклопедичний навчальний довідник: навчальний посіб. / За ред. Ю.Л. Мазора, Є.А. Мачуського, В.І. Правди – К.: Вища шк., 1999. – 838 с.: іл.
4. Proakis J.G. (2006). Digital Signal Processing, Principles, Algorithms, and Applications. 4-th Edition. – New Jersey: Prentice-Hall, Inc. Upper Saddle River, NJ, USA, 1077.

Житомирська політехніка	МІНІСТЕРСТВО ОСВІТИ І НАУКИ УКРАЇНИ ДЕРЖАВНИЙ УНІВЕРСИТЕТ «ЖИТОМИРСЬКА ПОЛІТЕХНІКА» Система управління якістю відповідає ДСТУ ISO 9001:2015 <i>Екземпляр № 1</i>	Ф-22.06- 05.02/2/172.00.1/М /ВК2.2-2021
------------------------------------	--	--

Лабораторна робота №4

Дослідження траєкторій польоту та робочих зон штучних супутників Землі

1. Навчальні питання

1. Дослідити траєкторії польоту і робочі зони різних штучних супутників Землі.

2. Дослідити основні властивості штучних супутників Землі.

2. Навчальна мета

1. Ознайомитись з траєкторіями польоту і робочими зонами різних штучних супутників Землі, навчитись визначати тривалість сеансів зв'язку між наземними спостерігачами і штучними супутниками Землі.

3. Теоретичні відомості

Рух штучних супутників Землі (ШСЗ) здійснюється по еліптических орбітах з ексцентриситетом, що наближається до 0. В залежності від висоти над поверхнею Землі орбіти поділяються на дуже низькі (< 1 тис. км), низькі (1-10 тис. км.), середні (10-25 тис. км.) і високі (> 25 тис. км). Наряду з висотою орбіти важливою її характеристикою, що визначає експлуатаційно-технічні показники для користувачів, є геостаціонарність. Орбіта називається геостаціонарною, якщо вона є одночасно високою, екваторіальною (співпадає з площею екватору) та добовою чи синхронною (період обертання супутника по орбіті дорівнює періоду обертання Землі). У решті випадків орбіта та супутник, що по ній рухається, називаються періодичними або асинхронними. На сьогоднішній день існує багато супутників та супутникових систем, що працюють на різних орбітах, мають різне призначення та експлуатаційні характеристики. Наприклад нібільш відомі геостаціонарні системи Inmarsat, Emsat і Thuraya ефективно використовуються для надання телекомунікаційних послуг рухомим споживачам у центральних районах Земної кулі, системи на середньоробітальних періодичних

Житомирська політехніка	МІНІСТЕРСТВО ОСВІТИ І НАУКИ УКРАЇНИ ДЕРЖАВНИЙ УНІВЕРСИТЕТ «ЖИТОМИРСЬКА ПОЛІТЕХНІКА» Система управління якістю відповідає ДСТУ ISO 9001:2015 <i>Екземпляр № 1</i>	Ф-22.06- 05.02/2/172.00.1/М /ВК2.2-2021 <i>Арк 68 / 51</i>
----------------------------	--	---

супутниках (GPS, ГЛОНАСС і в перспективі ГАЛІЛЕО) в основному використовуються для надання навігаційних послуг у глобальних маштабах, а системи на низькоорбітальних періодичних супутниках (накшталт Iridium, Globalstar і Orbcomm) забезпечують глобальний зв'язок, включаючи полярні райони Земної кулі.

Висота орбіт та періодичність руху по ним супутників визначають розмір робочих зон і доступність супутникових систем (детальний опис див. у [1,2]), що є важливими показниками для споживачів телекомунікаційних та навігаційних послуг. Отже важливою задачею для користувача будь-якої супутникової системи є визначення робочих зон ШСЗ і тривалості сеансів зв'язку між наземними пунктами спостереження і ШСЗ. Для вирішення цієї задачі доцільно скористатися сучасним комп’ютерними імітаторами польоту ШСЗ, які використовують реальні ефемериди (координати та параметри руху) існуючих космічних апаратів, розраховані станціями спостереження. Прикладом такого емітатора є програма NOVA for Windows, розроблена компанією Northern Lights Software Associates (NLSA). Данна програма є безкоштовною демо-версією і тому може бути встановлена студентом самостійно з дистрибутивного файлу (надається викладачем). Порядок встановлення та виконання роботи студентом наведено нижче.

4. Порядок виконання роботи

4.1. Для установки програми на комп’ютер запустити виконавчий файл. Прийняти умови ліцензійної угоди і натиснути Next. У графі введення серійного номеру першу частину заповнити латинськими літерами XXX, другу частину залишити порожньою. Під час установки програми ігнорувати усі повідомлення про неможливість установки файлів, натискаючи Next. Після закінчення установки програми обов’язково перезавантажити комп’ютер.

4.2. Завантажити програму NOVA, два рази клікнувши по ярлику на робочому столі Windows. У вікнах, що з’являтимуться, натиснути спочатку OK, а потім Continue.

Житомирська політехніка	МІНІСТЕРСТВО ОСВІТИ І НАУКИ УКРАЇНИ ДЕРЖАВНИЙ УНІВЕРСИТЕТ «ЖИТОМИРСЬКА ПОЛІТЕХНІКА» Система управління якістю відповідає ДСТУ ISO 9001:2015 <i>Екземпляр № 1</i>	Ф-22.06- 05.02/2/172.00.1/М /ВК2.2-2021
----------------------------	--	--

4.3. За номером у списку групи обрати два ШСЗ (табл.1).

Таблиця 1

Варіанти завдання до лабораторної роботи №1

№ варіанту	Назва (номер) супутників
1	A-1 (ASTERIX), EKRAN 1
2	ADEOS, INMARSAT 2-F1
3	QUAKESAT, KOREASAT 5
4	KOMPASS, FEDSAT
5	KYOKKO 1 DEB, FALCONSAT 3
6	EGYPTSAT 1, NAVSTAR 10
7	GENESIS 2, NADEZHDA 3
8	BRAZILSAT B2, NATO 2A
9	OKEAN 1, TELSTAR 1
10	OLYMPUS 1, KITSAT 3
11	DNEPR 1 DEB, TRANSIT 5B 3
12	DYNAMICS EXPLORER 1, MOLNIA 1-29
13	TOPSAT, LANDGEOS 2
14	RADUGA 10, INMARSAT 2-F1
15	METEOR 1-11, EUTELSAT 1-F1
16	EXPLORER 22, EQUATOR S
17	OKEAN 1, GALAXY 1
18	IKONOS 2, EKRAN 20
19	IRIDIUM 10, EUTELSAT W3
20	INTERCOSMOS 25, ORBCOMM 7
21	ITALSAT 1, EXPRESS 4A
22	GENESIS 2, NATO 3D
23	NAVSTAR 15, ORBCOMM FM 15
24	ITALSAT 2, MERIDIAN 1
25	EUTELSAT W5, OKEAN O
26	ENVISAT, INMARSAT 4-F2
27	GLOBALSTAR M025, FALCONSAT 3

Житомирська політехніка	МІНІСТЕРСТВО ОСВІТИ І НАУКИ УКРАЇНИ ДЕРЖАВНИЙ УНІВЕРСИТЕТ «ЖИТОМИРСЬКА ПОЛІТЕХНІКА» Система управління якістю відповідає ДСТУ ISO 9001:2015	Ф-22.06- 05.02/2/172.00.1/М /ВК2.2-2021
	<i>Екземпляр № 1</i>	<i>Арк 68 / 53</i>

28	VIKING, ARABSAT 2A
29	XTAR-EUR, COSMOS 2177
30	ELEKTRON 1, ORBCOMM FM 10
31	EUTELSAT 1-F5, FOTON M-2 DEB
32	COSMOS 2205, INMARSAT 3-F5
33	INTELSAT 4A-F1, MICRO LABSAT
34	IRIDIUM 80, GALAXY 1R
35	NATO 2A, OKEAN 4
36	GEOSAT, INMARSAT 2-F4
37	ABRIXAS, ANATOLIA 1
38	AGILE, COSMOS 1687
39	COBE, E-BIRD
40	YOGAN 1, OLYMPUS 1

4.4. У правому стовпчику вікна View Creation Wizard (закладка Satellites) позначити курсором Default Sat, а потім його видалити з колонки, натиснувши на Delete. У центральному стовпчику Database знайти назви потрібних супутників і по черзі перетягнути їх у правий стовпчик (рис. 1.1). Для швидкого пошуку потрібних супутників можна відфільтрувати групи супутників за ознакою їх належності до конкретних систем, використавши закладку ліворуч з краю вікна.

4.5. Пропустити закладку Observers і зразу перейти на закладку Display вікна View Creation Wizard. Обрати розмір карти Large і тип View from Space (рис.1.2).

Житомирська політехніка	МІНІСТЕРСТВО ОСВІТИ І НАУКИ УКРАЇНИ ДЕРЖАВНИЙ УНІВЕРСИТЕТ «ЖИТОМИРСЬКА ПОЛІТЕХНІКА» Система управління якістю відповідає ДСТУ ISO 9001:2015 <i>Екземпляр № 1</i>	Ф-22.06- 05.02/2/172.00.1/М /ВК2.2-2021
------------------------------------	--	--

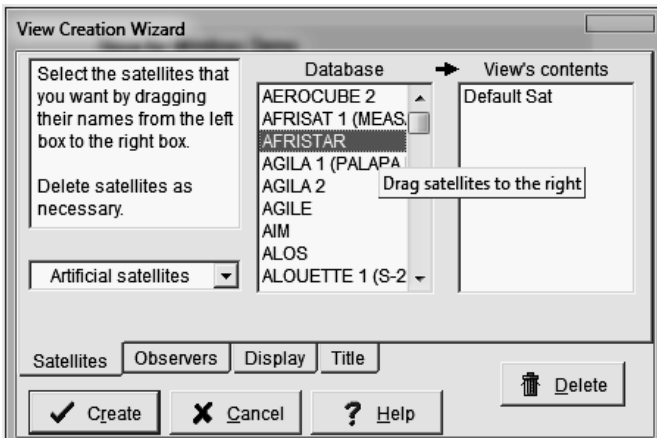


Рис.1. Вікно View Creation Wizard із закладками

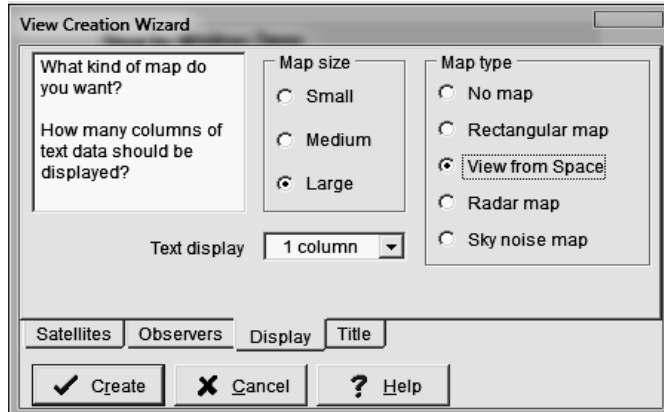


Рис. 2. Налаштування вигляду карти

4.6. У закладці Title ввести англійськими літерами своє прізвище і натиснути Create.

4.7. Для налаштування найбільш повного графічного відображення ШСЗ, включаючи показ орбіт супутників та їх проекцій на Землю, потрібно клікнути правою кнопкою миші на електронній карті Землі і обрати у меню, що зявиться, пункт Configure View, закладку Map та відмітити галочками усі опції як

Житомирська політехніка	МІНІСТЕРСТВО ОСВІТИ І НАУКИ УКРАЇНИ ДЕРЖАВНИЙ УНІВЕРСИТЕТ «ЖИТОМИРСЬКА ПОЛІТЕХНІКА» Система управління якістю відповідає ДСТУ ISO 9001:2015 <i>Екземпляр № 1</i>	Ф-22.06- 05.02/2/172.00.1/М /BK2.2-2021
----------------------------	--	--

показано на рис. 3. Після вибору усіх опцій карта матиме вигляд як на рис. 4.

4.8. Провести аналіз траекторій руху та зон видимості кожного ШСЗ (згідно варіанту завдання). Для цього на панелі прокрутки (праворуч від карти) натиснути значок STOP і потім за допомогою клавіш у прискореному режимі декілька разів прокрутити кожний ШСЗ навколо Землі. Подивитись над якими крайнім проходить зона видимості кожного ШСЗ.

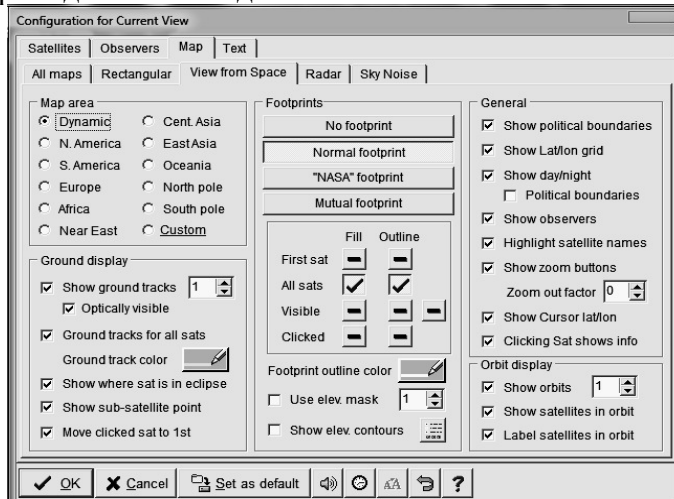


Рис. 3. Вибір опцій відображення карти

Житомирська політехніка	МІНІСТЕРСТВО ОСВІТИ І НАУКИ УКРАЇНИ ДЕРЖАВНИЙ УНІВЕРСИТЕТ «ЖИТОМИРСЬКА ПОЛІТЕХНІКА» Система управління якістю відповідає ДСТУ ISO 9001:2015 <i>Екземпляр № 1</i>	Ф-22.06- 05.02/2/172.00.1/М /ВК2.2-2021
		Арк 68 / 56

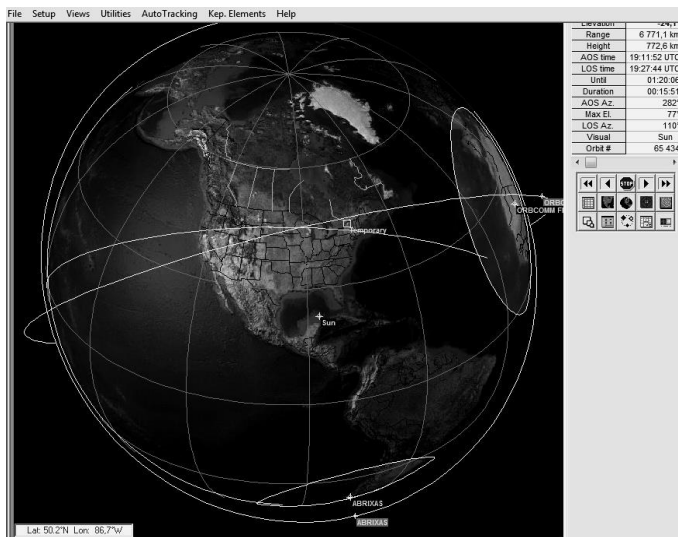


Рис. 4. Вигляд карти після вибору усіх опцій

Для зручності перегляду руху ШСЗ можна обертати Земну кулю на карті, клікаючи лівою кнопкою миші на потрібній території, або взагалі перейти до плоскої розгорнутої карти, викликавши правою кнопкою миші меню та обравши в ньому Map Style та Rectangular map. Налаштування опцій відображення виконати аналогічно п. 4.7 (рис. 3).

4.9. Переглянувши рух зон видимості обох ШСЗ, обрати на шляху їх проходження дві країни (міста) та встановити на їх території по пункту спостереження – Observers. Для цього потрібно правою кнопкою миші викликати меню Configure View та у закладці Observers удалити пункт Default (рис. 5).

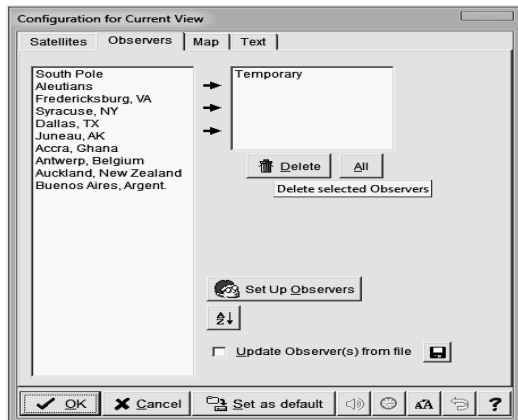


Рис. 5. Встановлення пунктів спостереження

Потім, натиснувши у вікні кнопку Set Up Observers, відкрити базу міст та знайти в ній два потрібних міста (рис. 6).

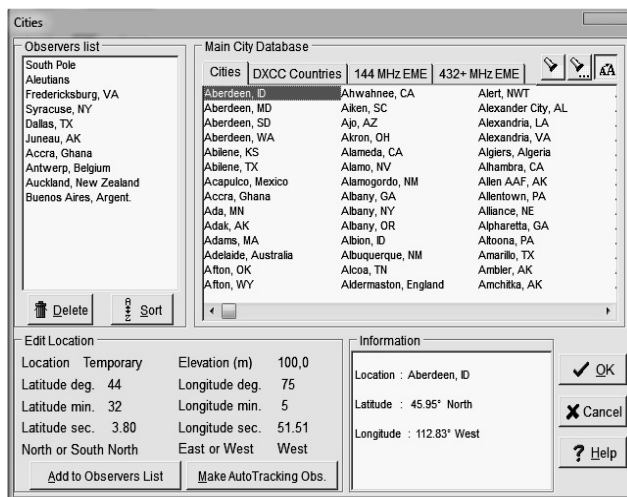


Рис. 6. База даних міст та список пунктів спостереження

Далі за допомогою миші перетягнути обидва міста з таблиці Main City Database у список Observers list. Якщо не вдається знайти

Житомирська політехніка	МІНІСТЕРСТВО ОСВІТИ І НАУКИ УКРАЇНИ ДЕРЖАВНИЙ УНІВЕРСИТЕТ «ЖИТОМИРСЬКА ПОЛІТЕХНІКА» Система управління якістю відповідає ДСТУ ISO 9001:2015 <i>Екземпляр № 1</i>	Ф-22.06- 05.02/2/172.00.1/М /ВК2.2-2021
----------------------------	--	--

потрібне місто, то його можна вручну внести до списку пунктів спостереження. Для цього потрібно визначити на карті координати даного міста (навести курсор у потрібне місто карти) і використовуючи меню Edit Location назвати пункт, встановити його широту (Latitude), довготу (Longitude) і висоту (Elevation), а потім зберегти у списку міст, натиснувши Add to Observers List.

Повернувшись до вікна встановлення пінктів спостереження (рис.5) перетягнути мишею з лівого стовпчика у правий потрібні пункти спостереження та натиснути Ok. Тепер обрані пункти спостереження мають з'явитися на карті у вигляді прямокутників з назвами відповідних міст.

4.10. Провести аналіз тривалості сеансів зв’язку між кожним ШСЗ і пунктом спостереження, записати параметри ШСЗ у моменти входження у зону радіовидимості пункту спостереження і у моменти виходу з неї. Зверніть увагу, що обидва моменти входу і виходу спостерігача із зони видимості супутника та параметри ШСЗ графічно відображаються у верхньому правому куті вікна програми (два стовпчики «параметр-значення» на рис.4). Виділення обох стовпчиків зеленим кольором свідчить про перебування спостерігача у зоні видимості супутника, а відповідно перший і останній моменти кольорового забарвлення цих стовпчиків є моментами входу і виходу спостерігача з робочої зони супутника. На момент входу спостерігача в робочу зону супутника параметр Until має значення 00:00:00, а на момент виходу практично дорівнює значенню Duration, яке характеризує тривалість сеансу зв’язку між супутником і спостерігачем.

4.11. Виписати з бази даних детальну характеристику по кожному ШСЗ, який вказаний у варіанті завдання. Для цього потрібно зайди у контекстне меню у верхній частині вікна програми (рис.4) Setup-Satellites, викликати вікно бази даних супутників (рис.7.) і знайти за алфавітом потрібні ШСЗ. З лівої частини вікна виписати у зошит основні кеплерові елементи супутників, їх періоди

Житомирська політехніка	МІНІСТЕРСТВО ОСВІТИ І НАУКИ УКРАЇНИ ДЕРЖАВНИЙ УНІВЕРСИТЕТ «ЖИТОМИРСЬКА ПОЛІТЕХНІКА» Система управління якістю відповідає ДСТУ ISO 9001:2015	Ф-22.06- 05.02/2/172.00.1/М /BK2.2-2021
	<i>Екземпляр № 1</i>	<i>Арк 68 / 59</i>

обертання (Period) і тривалість перебування на орбіті Землі (Satellite age), які можна побачити натиснувши кнопку [Derived](#).

The screenshot shows a software interface for managing satellite data. On the left, there is a form for entering Keplerian elements for a specific satellite. The fields include:

- Satellite name: A-1 (ASTERIX)
- Catalog number: 1778
- Epoch time: 8133.0895729400
- Element set: 411
- Inclination: 34.25560000
- RAAAsc. Node: 22.65590000
- Eccentricity: 0.07596770
- Arg. of perigee: 160.89280000
- Mean anomaly: 202.18800000
- Mean motion: 13.44894080
- Decay rate: 0.00000019
- Epoch orbit #: 7293

Below the form are buttons for ALat, ALon, and a Derived checkbox. To the right is a large list of 12671 available satellites, with the last update on 27.06.95. The list includes:

- A-1 (ASTERIX) - ALOUETTE 2
- AAM/PSLV - ALSAT 1
- AAP-1 (GE-1A) - AMAZONAS
- AAU CUBESAT - AMC-1 (GE-1)
- ABRIXAS - AMC-10 (GE-10)
- ABS 1 (LMI 1) - AMC-11 (GE-11)
- ACRIMSAT - AMC-12
- ACTS - AMC-14
- ADEOS 2 - AMC-15
- ADEOS - AMC-16
- AEROCUBE 2 - AMC-18
- AFRISTAR 1 (MEASAT 1) - AMC-2 (GE-2)
- AFRISTAR - AMC-23
- AGILA 1 (PALAPA B2P) - AMC-3 (GE-3)
- AGILA 2 - AMC-4 (GE-4)
- AGILE - AMC-5 (GE-5)
- AIM - AMC-6 (GE-6)
- ALOS - AMC-7 (GE-7)
- ALOUETTE 1 (S-27) - AMC-8 (GE-8)

At the bottom of the interface are buttons for Update Kep. elements, OK, Cancel, Help, Config. extra, and Who's Up?.

Рис. 7. База даних міст та список пунктів спостереження.

У висновках визначити принадлежність обраних супутників до класу високо орбітальних геостаціонарних або низькоорбітальних періодичних апаратів. Навести характеристику відповідного класу ШСЗ із зазначенням їх переваг та недоліків.

Зміст звіту:

1. Тема і мета лабораторної роботи;
2. Результати аналізу руху і тривалості сеансів зв’язку між спостерігачами і ШСЗ відповідно обраного варіанту завдання;
3. Детальна характеристика обраних ШСЗ ;
4. Висновки.

Житомирська політехніка	МІНІСТЕРСТВО ОСВІТИ І НАУКИ УКРАЇНИ ДЕРЖАВНИЙ УНІВЕРСИТЕТ «ЖИТОМИРСЬКА ПОЛІТЕХНІКА» Система управління якістю відповідає ДСТУ ISO 9001:2015 <i>Екземпляр № 1</i>	Ф-22.06- 05.02/2/172.00.1/М /ВК2.2-2021
----------------------------	--	--

Контрольні запитання

1. Поясніть, використовуючи лабораторні плакати, які параметри визначають просторово часове положення ШСЗ.
2. Наведіть класифікацію ШСЗ за висотою орбіт.
3. Поясніть що є зоною видимості ШСЗ та спостерігача.
4. Якими основними властивостями володіють супутники на геостаціонарних орбітах?
5. Якими основними властивостями володіють супутники на низьких орбітах?

Житомирська політехніка	МІНІСТЕРСТВО ОСВІТИ І НАУКИ УКРАЇНИ ДЕРЖАВНИЙ УНІВЕРСИТЕТ «ЖИТОМИРСЬКА ПОЛІТЕХНІКА» Система управління якістю відповідає ДСТУ ISO 9001:2015 <i>Екземпляр № 1</i>	Ф-22.06- 05.02/2/172.00.1/М /ВК2.2-2021
------------------------------------	--	--

Лабораторна робота №5

Дослідження характеристик антен супутниковых систем

1. Навчальні питання

1. Дослідити основні характеристики дзеркальної антени в програмі MANAGAL.
2. Розрахувати основні параметри дзеркальної антени.

2. Навчальна мета

1. Ознайомитись з характеристиками дзеркальної антени, навчитись аналізувати характеристики антен та проводити розрахунки.

3. Теоретичні відомості

Дзеркальні антени:

1. Рупорно-параболічні
2. Осесиметрічні
 - Однодзеркальні
 - Двохдзеркальні (за схемою Кассегрена або Грекорі)
3. Перисуноккопні
4. Офсетні

Легко забезпечують високу спрямованість, широкосмугові, мають порівняно просту конструкцію. При високих частотах вимоги до точності виготовлення дуже жорсткі (відхилення порядку). Кругова поляризація забезпечується конструкцією опромінювача або введенням додаткових елементів, що ускладнить і збільшить масу конструкції. Проаналізувавши таблицю можна сказати, що найбільш підходящий для СІС тип антени – однодзеркальну параболічну, тмоу розглянемо її більш детально. Відомо, що дзеркальні параболічні антени існують прямофокусні (Prime Focus) та офсетні (Offset).

Прямофокусні антени мають ще одну назву – осесиметричні. Дзеркало прямофокусної антени – параболоїд обертання, антена кругла, її геометрична вісь збігається з електричною віссю. Зазвичай,

Житомирська політехніка	МІНІСТЕРСТВО ОСВІТИ І НАУКИ УКРАЇНИ ДЕРЖАВНИЙ УНІВЕРСИТЕТ «ЖИТОМИРСЬКА ПОЛІТЕХНІКА» Система управління якістю відповідає ДСТУ ISO 9001:2015 <i>Екземпляр № 1</i>	Ф-22.06- 05.02/2/172.00.1/М /ВК2.2-2021
		<i>Арк 68 / 62</i>

на цій же осі і розміщується конвертер, який, як правило, кріпиться до країв рефлектора за допомогою трьох або чотири стійок.

Офсетна антена є вирізкою з параболоїда. Як правило, вирізка утворюється перетином параболоїда і циліндра, осі яких паралельні. Таким чином, дзеркало офсетної антени має форму еліпса, а напрям електричної осі антени відрізняється від напряму геометричної осі дзеркала на деякий кут. Як правило, електрична вісь на 20...30 градусів вище за геометричну вісь.

Геометрію прямофокусної і офсетної антен наведено на рисунок. 5.1. Обидві антени мають і переваги і недоліки.

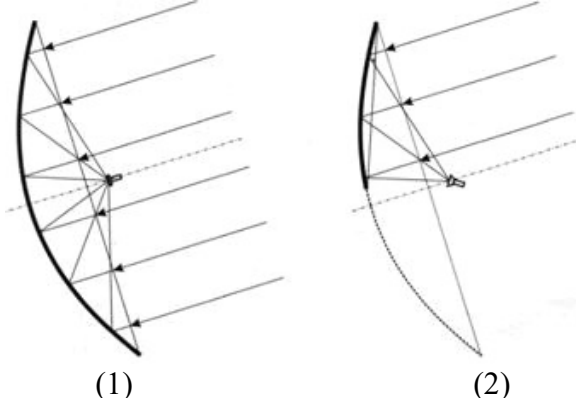


Рисунок. 5.1 – Геометрія прямофокусної (1) і офсетної антен (2)

Наприклад, якщо розглядати прямо фокусну антenu, то в ній ефективніше викорисунковується площа дзеркала. Офсетна антена має таку ж ефективну площину, як прямофокусна антена але з діаметром, рівним розміру офсетної антени по меншій осі. Тобто, задля того, щоб отримати ефективну площину офсетної антени, треба помножити її фізичну площину на косинус кута між електричною і геометричною осями. В типових антен фізична площа викорисунковується на 86-90%. З іншого боку, в прямофокусній антені частина поверхні затуляється конвертером і елементами його

Житомирська політехніка	МІНІСТЕРСТВО ОСВІТИ І НАУКИ УКРАЇНИ ДЕРЖАВНИЙ УНІВЕРСИТЕТ «ЖИТОМИРСЬКА ПОЛІТЕХНІКА» Система управління якістю відповідає ДСТУ ISO 9001:2015 <i>Екземпляр № 1</i>	Ф-22.06- 05.02/2/172.00.1/М /ВК2.2-2021
		<i>Арк 68 / 63</i>

кріплення, а в офсетної антени – ні. Тому антени малого діаметру, до 1,5 метра, в яких конвертер може затулити частину площині більше 10%, роблять, як правило, офсетними, а антени великих розмірів частіше бувають прямофокусними.

Оскільки для забезпечення заданого коефіцієнта підсилення діаметр антени буде більше за 1,5 м, а також конвертер не буде закривати більше 10% площині антени, то оберемо тип однодзеркальної параболічної антени – прямофокусну.

Властивості та застосування прямофокусної однодзеркальної параболічної антени

Параболічні антени останнім часом все більш широко застосовуються в космічних і радіорелейних лініях зв'язку. У 1888 році відомий німецький фізик Г. Герц в своїх дослідах в НВЧ оптиці вперше застосував як фокусуючий присуноктрій параболічний циліндр.

Дзеркальні параболічні антени є найбільш поширеним типом направлених антен в сантиметровому, дециметровому і частково метровому діапазонах хвиль.

Широке викорисуноктання дзеркальних антен пояснюється простотою і легкістю конструкції, можливістю формування найрізноманітніших діаграм спрямованості, високим ККД, малою шумовою температурою, великим коефіцієнтом перекриття по частоті. Деякі типи дзеркальних антен можуть забезпечувати досить швидке гайдання променя в значному секторі кутів. Дзеркальні антени є також найбільш поширеним типом антен в космічному зв'язку і радіоастрономії, і саме за допомогою дзеркальних антен в даний час реалізовані гігантські антенні системи з ефективною поверхнею розкриву, вимірюваною тисячами квадратних метрів.

Основними елементами параболічної антени є металевий відбивач (дзеркало), що має форму однієї з параболічних поверхонь,

Житомирська політехніка	МІНІСТЕРСТВО ОСВІТИ І НАУКИ УКРАЇНИ ДЕРЖАВНИЙ УНІВЕРСИТЕТ «ЖИТОМИРСЬКА ПОЛІТЕХНІКА» Система управління якістю відповідає ДСТУ ISO 9001:2015 <i>Екземпляр № 1</i>	Ф-22.06- 05.02/2/172.00.1/М /ВК2.2-2021
----------------------------	--	--

опромінювач з елементами кріплення, розміщений у фокусі такої поверхні, і живлячий фідер F (рисунок. 5.2).

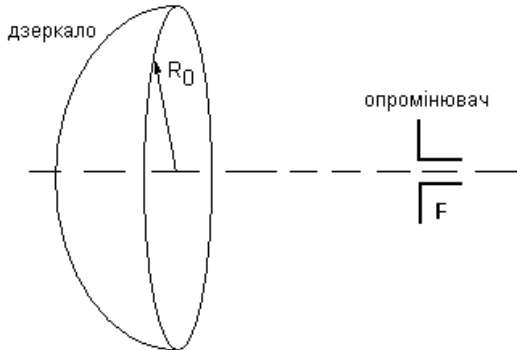


Рисунок. 5.2

Параболоїд обертання збуджується слабонаправленим опромінювачем (наприклад, рупором), розміщеним у фокусі, і перетворює сферичний фронт хвилі в плоский. Опромінювач антени виконується так, щоб майже вся випромінювана ним енергія прямувала у бік відбивача. Досягнувши відбивача, електромагнітні хвилі збуджують на його поверхні високочастотні струми, які створюють свої електромагнітні поля. параболічних антенах використовуються оптичні властивості радіохвиль. Геометричні властивості параболи такі, що промені, що направляються з фокусу і відбиті від параболи, стають паралельними осі параболи (рисунок. 5.3), так що довжина шляху від фокусу до параболи і потім до лінії розкриву, що проходить через край параболи, однаакова для будь-якого кута. Таким чином, в розкриві параболічної антени утворюється синфазна поверхня і випромінювання антени виявляється гостронаправленим.

Житомирська політехніка	МІНІСТЕРСТВО ОСВІТИ І НАУКИ УКРАЇНИ ДЕРЖАВНИЙ УНІВЕРСИТЕТ «ЖИТОМИРСЬКА ПОЛІТЕХНІКА» Система управління якістю відповідає ДСТУ ISO 9001:2015	Ф-22.06- 05.02/2/172.00.1/М /ВК2.2-2021
	<i>Екземпляр № 1</i>	<i>Арк 68 / 65</i>



Рисунок. 5.3

У декартовій системі координат параболоїд обертання визначається рівнянням (початок координат збігається з вершиною параболоїда) $x^2 + y^2 = 4fz$.

Діаметр розкриву параболоїда D_3 і його фокусна відстань f зв'язані між собою співвідношенням:

$$D_3 = 4f \cdot \operatorname{tg}(\theta_{\max} / 2), \quad (5.1)$$

де $2\theta_{\max}$ – кут розкриву параболоїда.

Вибір конфігурації та розрахунок антени

Вибір типа дзеркала, опромінювача і тракту, що каналізує енергію до опромінювача.

По-перше як вищесказано, оскільки для забезпечення заданого коефіцієнта підсилення діаметр антени буде більший за 1,5 м, а також конвертер не буде закривати більше 10% площи антени, то оберемо тип однодзеркальної параболічної антени – прямофокусну.

Житомирська політехніка	МІНІСТЕРСТВО ОСВІТИ І НАУКИ УКРАЇНИ ДЕРЖАВНИЙ УНІВЕРСИТЕТ «ЖИТОМИРСЬКА ПОЛІТЕХНІКА» Система управління якістю відповідає ДСТУ ISO 9001:2015 <i>Екземпляр № 1</i>	Ф-22.06- 05.02/2/172.00.1/М /ВК2.2-2021
------------------------------------	--	--

По-друге, якщо робоча частота антени $f_p = 2,2\Gamma\Gamma\mu$ (довжина хвилі $\lambda = c / f = 136,36\text{мм}$). Отже, як тракт фідера краще використовувати прямокутній хвилевід з переходом на коаксіальний, оскільки круглі хвилеводи не використовуються через їх поляризаційну нестійкість.

По-третє, необхідно отримати таку діаграму спрямованості (ДС), в якої ширина головної пелюстки по рівню половини потужності рівна в Е- та Н-площинах і яка характеризується високим ступенем спрямованості, тобто голчату ДС. Тому, в якості дзеркала слід вибрати параболоїд обертання, який легше виготовити ніж параболічний циліндр. При цьому опромінювач антени повинен мати ДС у вигляді тіла обертання і можливість з'єднання з хвилеводним трактом.

Найкращим в даному випадку буде хвилеводно-рупорний опромінювач, завдяки простоті конструкції, відносній легкості здобуття потрібної форми ДС і хорошій діапазонності. Найлегше забезпечити однакову ДС в обох площинах при опромінювачі у вигляді відкритого кінця круглого хвилеводу, з розміщеним на його кінці конічним рупором. Але в цьому випадку буде необхідний плавний або ступінчастий перехід від прямокутного хвилеводу до круглого, який виконується в безпосередній близькості від рупора. Для збереження симетрії розподілу поля в розкриві застосуємо в конструкції підтримуючу штангу, вона є копією тракту фідера і симетрична йому відносно осі параболоїда, при цьому збільшиться міцність кріплення опромінювача.

Іншим варіантом отримання ДС опромінювача, однакової в обох площинах є застосування піраміdalного рупора з ретельно підібраними розмірами сторін прямокутного розкриву. В даному випадку жодного переходу не буде потрібно. Але підбір таких розмірів є дуже важким завданням.

Також необхідно забезпечити малий рівень бічних пелюсток $q = -20\text{dB}$. Дану вимогу реалізовуватимемо за допомогою вибору певного радіусу розкриву дзеркала антени, який отримаємо в ході розрахунку.

4. Порядок виконання роботи

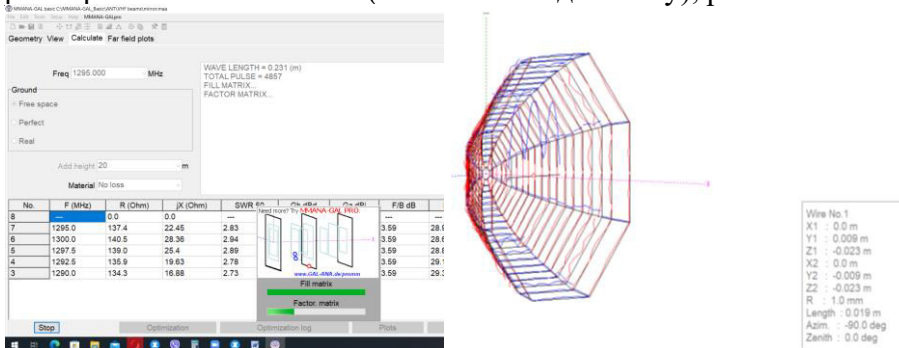
4.1. В програмі MMANA-GAL BASIC відкрити модель дзеркальної антени: File – open - VHF beams - mirror.maa провести моделювання та зберегти основні характеристики антени для початкових умов.

4.2. Дослідити залежності характеристик антени від

- частоти сигналу (початкова, максимальна і середнє значення з діапазону);

- типу землі, що враховується;
- типу матеріалу антени;
- висоти підвісу антени.

Для запуску натиснути Start. Для моделювання додаткових параметрів – Plots – Detailed (або інший вид аналізу), рис 5.4.



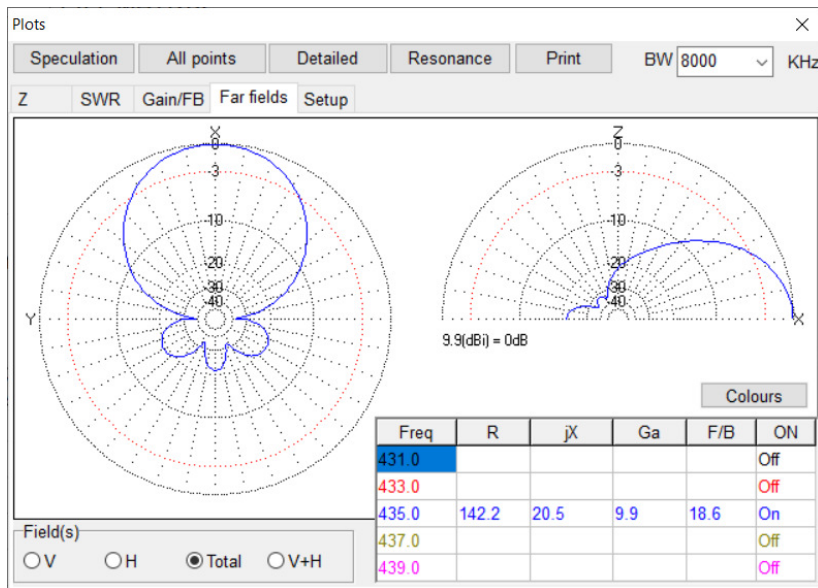


Рис. 5.4

5. Обробка результатів досліджень.

Виконати аналіз отриманих графіків та проаналізувати залежність параметрів антени (комплексного опору $Z = R+jX$, паразитного коефіцієнта стоячої хвилі КСХ (SWR), коефіцієнта підсилення Ga (Gain), dB) від частоти сигналу; типу землі, що враховується; типу матеріалу антени; висоти підвісу антени.

Зміст звіту

1. Тема і мета лабораторної роботи;
2. Результати аналізу отриманих графіків;
4. Висновки.

Житомирська політехніка	МІНІСТЕРСТВО ОСВІТИ І НАУКИ УКРАЇНИ ДЕРЖАВНИЙ УНІВЕРСИТЕТ «ЖИТОМИРСЬКА ПОЛІТЕХНІКА» Система управління якістю відповідає ДСТУ ISO 9001:2015	Ф-22.06- 05.02/2/172.00.1/М /ВК2.2-2021
	<i>Екземпляр № 1</i>	<i>Арк 68 / 69</i>

Література

1. Ципоренко В.В. Методи і засоби обробки НВЧ сигналів у радіотехнічних системах: Навчальний посібник. – Житомир: Державний університет «Житомирська політехніка», 2021. 141 с. ISBN 978-966-683-570-6
2. Ніколаєнко Б.А., Пелешок Є.В. Сучасні супутникові системи зв’язку: навч. посібник. К.: ІСЗІ КПІ ім. Ігоря Сікорського, 2022. 146 с.
3. Срібна І.М., Є.І. Махонін, Власенко Г.М., Кирпач Л.А. Супутникові системи зв’язку і навігації. Навчальний посібник. – К.: ДУТ, 2019. –123 с.
4. Довгий С.О., Савченко О.Я., Воробієнко П.П. та ін. Сучасні телекомунікації: мережі, технології, економіка, управління, регулювання/За ряд, С.О. Довгого. – К.: Український видавничий центр, 2002. – 520с.
5. Бабак В.П., Наритник Т.Н., Куц Ю.В., Казимиренко В.Я. Обробка сигналів у радіоканалах цифрових систем передавання інформації: Навч. Посібник/За заг. ряд. чл.-кор. НАН України В.П. Бабака. – К.: Книжкове видавництво НАУ, 2005. – 476 с.
6. Proakis J.G. Digital Signal Processing, Principles, Algorithms, and Applications. 4-th Edition. – New Jersey: Prentice-Hall, Inc. Upper Saddle River, NJ, USA, 2006. – 1077 p.